

ივ. ჯავახიშვილის სახელობის თბილისის სახელმწიფო უნივერსიტეტი
ზუსტ დასაბუნებისმეტყველო მეცნიერებათა ფაკულტეტი

სადოქტორო პროგრამის დასახელება: „ფიზიკა“

არომატის შემცვლელი ნეიტრალური დენებით მიმდინარე ტოპ
კვარკის იშვიათი დაშლის $t \rightarrow qZ$ შესწავლა მასათა ცენტრის
სისტემაში 8 ტევ ენერგიაზე პროტონ-პროტონულ
ურთიერთქმედებებში ATLAS ექსპერიმენტზე

არჩილ დურგლიშვილი

I კოლოქვიუმი

სადოქტორო ნაშრომის ხელმძღვანელი:
ფიზ. მათ. მეცნიერებათა დოქტორი თამარ ჯობავა

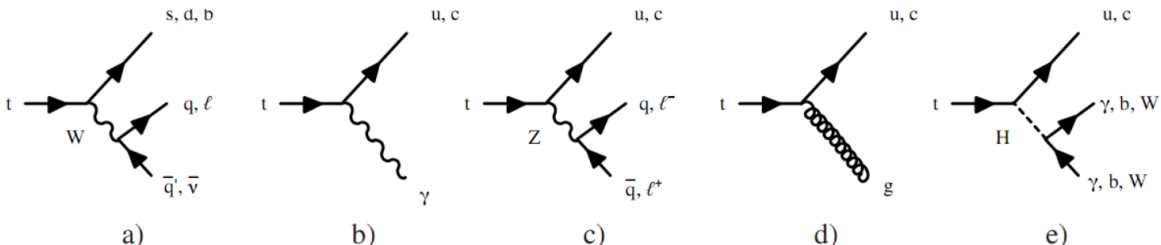
თბილისი 2017

სარჩევი

1.	შესავალი	3
2.	ATLAS დეტექტორი	5
3.	ექსპერიმენტული და სიმულირებული მონაცემები	6
3.1.	ექსპერიმენტული მონაცემები	6
3.2.	სიგნალის შესაბამისი მონაცემთა ნაკრები	7
3.3.	ფონური პროცესების შესაბამისი მონაცემთა ნაკრებები	8
4.	აღდგენილი ფიზიკური ობიექტები	10
4.1.	ელექტრონები	10
4.2.	მიუონები	11
4.3.	ჰავლები	11
4.4.	b-ჰავლების მონიშვნა	12
5.	pp-ურთიერთქმედებების შემთხვევების შერჩევა	12
5.1.	შემთხვევების წინასწარი შერჩევა	12
5.2.	შემთხვევების საბოლოო შერჩევა და აღდგენა	16
6.	ფონური პროცესები	24
6.1.	ფონური პროცესების ექსპერიმენტული მონაცემებით შეფასება	24
6.1.1.	Z+jets ფონური პროცესი	24
6.1.2.	ცრუ ლეპტონების ფონური პროცესი	26
7.	სისტემატიკური განუზღვრელობები	26
8.	მრავალცვლადიანი დისკრიმინატული ანალიზი	30
9.	ზედა ზღვარის შეფასება	40
10.	დასკვნები	42

1. შესავალი

ტოპ კვარკი განსხვავდება ყველა დანარჩენ ცნობილ ფუნდამენტური ნაწილაკებისაგან მისი მასის დიდი მნიშვნელობით. იგი ერთადერთი ნაწილაკია რომლის იუკავას ბმის კონსტანტას მნიშვნელობა დაახლოებით ერთის ტოლია და ამიტომ იბადება კითხვა ხომ არ თამაშობს იგი განსაკუთრებულ როლს ნაწილაკთა მასის გენერაციის პროცესში. ტოპ კვარკის მასა გაზომილია დიდი სიზუსტით და ტოლია 173.4 ± 0.27 (სტატ.) ± 0.7 (სისტ.) გევი [1] და ამრიგად არის დღესათვის ცნობილ ფუნდამენტურ ნაწილაკებს შორის ყველაზე მასიური (მძიმე) ნაწილაკი. სტანდარტულ მოდელში ტოპ კვარკის სიცოცხლის ხანგრძლივობა $\sim 5 \cdot 10^{-25}$ წელის უკიდურესად მცირე და იგი იშლება ადრონიზაციის პროცესის დაწყებამდე ძირითადად b კვარკად და W ბოზონად. ტოპ კვარკი ერთადერთია კვარკებს შორის რომელიც არ ქმნის ბმულ მდგომარეობებს და შესანიშნავი ობიექტია (იარაღია) ნაწილაკთა ფიზიკის სტანდარტული მოდელის შესამოწმებლად.



ნახაზი 1. ტოპ კვარკის დაშლები: a) სტანდარტული მოდელის დომინანტური დაშლის არხი $t \rightarrow Wb$ და სტანდარტული მოდელის გაფართოებული მოდელების აშნე არხები b) $t \rightarrow qy$, c) $t \rightarrow qZ$ d) $t \rightarrow qg$ და e) $t \rightarrow qH$, სადაც $q=u,c$. W, Z და H ბოზონების შემდგომი დაშლები ლეპტონებად ან კვარკებად არის გამოსახული აგრეთვე.

არომატის შემცვლელი ნეიტრალური დენებით (აშნდ) მიმდინარე ტოპ კვარკის ურთიერთქმედბა მსუბუქ კვარკებთან $q=u,c$ ყალიბრული ბოზონების (Z, γ, g) ან ჰიგსის ბოზონის (H^0) მეშვეობით არ ჩნდება სტანდარტულ მოდელში (სმ) ხის დონეზე და ძლევრად არის ჩახშობილი გლეშოუ-ილიონულოს-მაიანის (GIM) მექანიზმის გამო [1] მარყუეოვან დონეზე. ნახ.1-ზე წარმოდგენილია ტოპ კვარკის დაშლის დომინანტური მოდა და ყველა შესაძლო აშნე დაშლები. მართალია აშნდ დაშლები არ მიმდინარეობს ხის დონეზე ფეინმანის დიაგრამებში, მაგრამ მათი მცირე წვლილი ჩნდება ერთ მარყუეიან დონეზე CKM შერევის მატრიცის მეშვეობით. სტანდარტული მოდელის ტოპ კვარკის სექტორში ეს მცირე შესწორებები (წვლილი) ტოპ კვარკის ყალიბრულ ბოზონებად დაშლების ფარდობით ალბათობებს Br ($t \rightarrow qX$, $X=Z, \gamma, g$) ადებს ზღვარს $\sim 10^{-10}$ -ის ქვემოთ, რაც დიდ ადრონულ ამაჩქარებელზე ამ დაშლის დამზერის შესაძლებლობის მიღმა მდებარეობს. ამრიგად ნებისმიერი აშნე დაშლების დამზერა სტანდარტული მოდელის მიღმა ფიზიკის არსებობის მაჩვენებელი იქნება.

არსებობს სტანდარტული მოდელის გაფართოებული მოდელები, ისეთები როგორიცაა კვარკის სინგლეტური მოდელი (QS) [3-5], პიგსის ორი დუბლეტის მოდელი არომატის შენახვით (FC 2HDM) ან შენახვის გარეშე (2HDM)[6-11], მინიმალური სუპერსიმეტრიული მოდელი (MSSM) [12-18], სუპერსიმეტრიული მოდელი (R SUSY) R ლუწობის დარღვევით [19], ტექნიფერის მოდელი (TC2) [20] და მოდელები ჩახვეული დამატებითი განზომილებებით (RS) [21-22] რომლებიც წინასწარმეტყველებენ გაცილებით უფრო დიდ სიდიდეებს აშნდ დაშლების ფარდობითი ალბათობებისათვის (დაშლის ფარდობითი ალბათობა იზრდება რამდენიმე რიგით). მოდელების მიმოხილვა მოცემულია [23] –ში. სტანდარტული მოდელის და ზემოთ ჩამოთვლილი მისი გაფართოებული მოდელების წინასწარმეტყველებანი $t \rightarrow qZ$ დაშლის ფარდობითი ალბათობის მნიშვნელობისათვის თავმოყრილია ცხრილ 1-ში.

Process	SM	QS	2HDM	FC 2HDM	MSSM	R SUSY	TC2	RS
$t \rightarrow qZ$	$\sim 10^{-14}$	$\sim 10^{-4}$	$\sim 10^{-7}$	$\sim 10^{-10}$	$\sim 10^{-6}$	$\sim 10^{-5}$	$\sim 10^{-4}$	$\sim 10^{-5}$

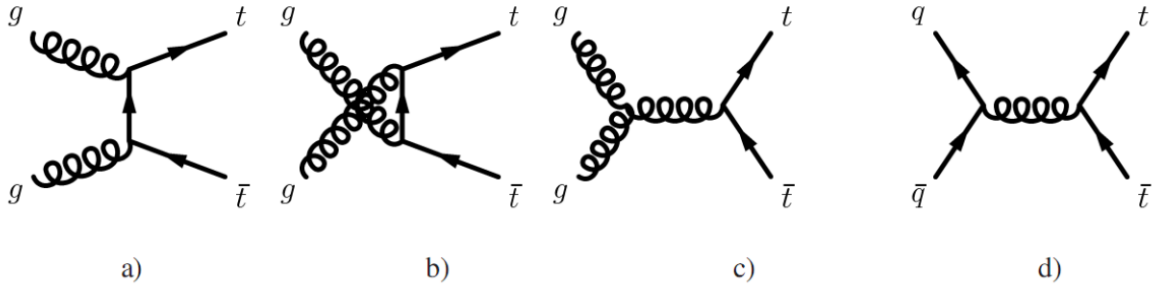
ცხრილი 1. ტოპ კვარკის აშნდ $t \rightarrow qZ$ დაშლის ფარდობითი ალბათობის თეორიული მნიშვნელობები რომლებსაც წინასწარმეტყველებენ სტანდარტული მოდელი [23] და სტანდარტული მოდელის მიღმა გაფართოების მოდელები.

ტოპ კვარკების წყვილურ და ეულ დაბადების პროცესებში (მოდებში) შესწავლილ იქნა აშნდ დაშლები ტევატრონის ექსპერიმენტებში (CDF, D0) და LEP და HERA ამაჩქარებლებზე.

	LEP	HERA	Tevatron	LHC
$BR(t \rightarrow qZ)$	7.8% [24–28]	30% ($t u Z$) [29]	3.2% [30]	0.05% [31]

ცხრილი 2. ტოპ კვარკის აშნდ $t \rightarrow qZ$ დაშლის ფარდობითი ალბათობის მნიშვნელობისათვის დღეისათვის არსებული ექსპერიმენტული ზედა საზღვრები (ზღვრები) 95% დამაჯერებლობის დონით.

არც ერთ ექსპერიმენტზე არ იქნა დამზერილი ეს იშვიათი დაშლები და დადებულ იქნა ამ დაშლებისათვის შესაბამისი ზღვრები. ტოპ კვარკის აშნდ $t \rightarrow qZ$ დაშლის ფარდობითი ალბათობის მნიშვნელობაზე LEP, HERA, Tevatron და LHC ამაჩქარებლების ექსპერიმენტებიდან მიღებული ექსპერიმენტული საზღვრები ნაჩვენებია ცხრილ 2-ში.



ნახაზი 2. წამყვანი რიგის დიაგრამები $t\bar{t}$ წყვილური დაბადებისათვის. გლუონების გაბნევის პროცესები a), b) და c) დიდი ადრონული ამაჩქარებლის ენერგიებზე წამყვანი (დომინანტური) პროცესებია, მაშინ როცა კვარკების გაბნევის პროცესი d) დომინანტური პროცესია ტევატრონის ენერგიებზე.

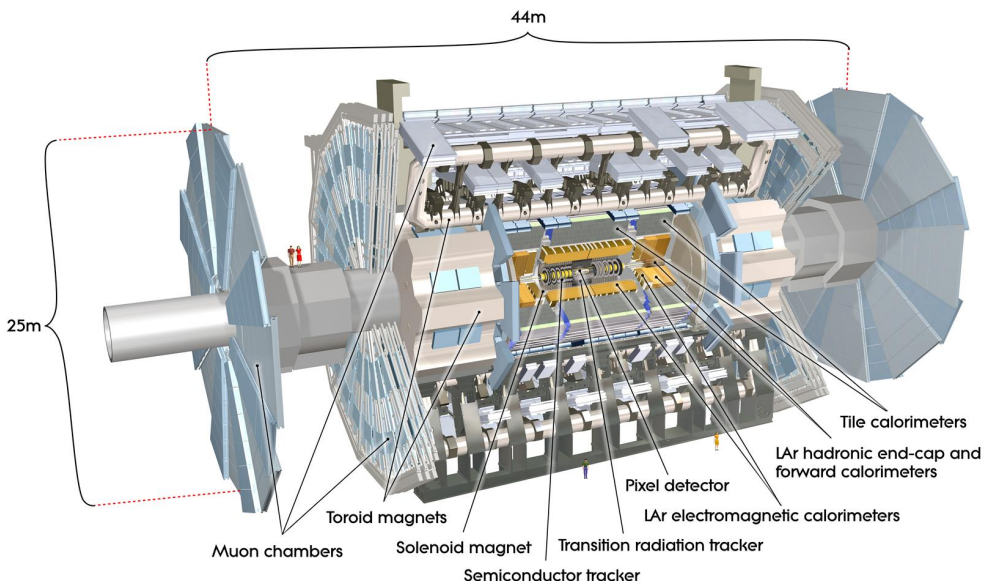
სტანდარტული მოდელის თანახმად, დიდ ადრონულ ამაჩქარებელზე ტოპ კვარკი შეიძლება წარმოიქმნას წყვილური დაბადების პროცესში წამყვან რიგში (ნახ. 2). მასათა ცენტრის სისტემაში $\sqrt{s} = 8$ ტევ ენერგიაზე პროტონ-პროტონულ ურთიერთქმედებებში $t\bar{t}$ წყვილური დაბადების კვეთი ტოპ კვარკის მასის 172.5 გევი მნიშვნელობისათვის ტოლია $\sigma_{tt} = 253^{+13}_{-15}$ pb [32]. იგი გამოთვლილი იქნა ქვანტური ქრომოდინამიკის წამყვანი რიგის შემდეგი რიგის შემდეგ რიგში [33-38]. პარტონის განაწილების ფუნქციის (PDF) და ბმის კონსტანტის α_s -ის განუზღვრელობები გამოთვლილ იქნა სხვადასხვა მეთოდებით [39-45]. ტოპ კვარკის აშნდ დაშლების შესწავლა შესაძლოა პირდაპირი გზით $t\bar{t}$ წყვილური დაბადების პროცესებში საბოლოო მდგრამარეობებში სათანადო დაშლის პროდუქტების ძიებით.

მოცემულ ანალიზში ტოპ-კვარკის აშნდ-ით მიმდინარე იშვიათი დაშლის ძიება ჩატარდა $t\bar{t}$ წყვილური დაბადების პროცესებში, როდესაც ერთი ტოპ-კვარკი იშლება სტანდარტული მოდელის მიხედვით დომინანტური არხით ($t \rightarrow bW$) და მეორე ტოპ-კვარკი იშლება აშნდ-ით ($t \rightarrow qZ$). განხილული იქნა W -ბოზონის ადრონული დაშლის და Z -ბოზონის ლეპტონური დაშლის არხები.

2. ATLAS დეტექტორი

ATLAS დეტექტორი [46] შედგება 4 ძირითადი ქვესისტემისგან: შიდა წვეროს ტრეკერი სისტემისგან, რომელიც გარემოცულია ზეგამზარი სოლენიდით, ელექტრომაგნიტური და ადრონული კალორიმეტრებისგან და მიუონური საკეტრომეტრისგან. შიდა წვეროს დეტექტორი უზრუნველყოფს ინფორმაციას ნაწილაკების ტრეკების (კვალების) შესახებ პიქსელ და სილიკონის მიკროსტრიპული (მიკროზოლებიანი) დეტექტორებიდან ფსევდოსისტრაფის $|\eta| < 2.5$ არეში და გარდამავალი გამოსხივების დეტექტორიდან (ტრეკერიდან) $|\eta| < 2.0$ არეში და ეს ყველაფერი მოთავსებულია 2 ტესლა მაგნიტურ ველში რომელსაც ქმნის ზეგამატარი სოლენიდი. ელექტრომაგნიტურ კალორიმეტრში გამოყენებულია ტევია და

თხევადი არგონი (Lar) და დაყოფილია ცენტრალურ კასრად (ფსევდოსისტრაფის $|\eta| < 1.475$ არე) და გვერდით ხუფებად (ფსევდოსისტრაფის $1.375 < |\eta| < 3.2$ არე). ადრონული კალორიმეტრი დამყარებულია დეტექტორების ორ სხვადასხვა ტექნოლოგიაზე, როცა აქტიურ ნივთიერებად გამოიყენება ან სცინცილატიური ფილტები, ან თხევადი არგონი (Lar), ხოლო შთანთქმელ ნივთიერებად გაოყენებულია ან ფოლადი, ან სპილენძი, ან ვოლფრამი. კალორიმეტრები გადაფარავენ ფსევდოსისტრაფის $|\eta| < 4.9$ არეს. მიუონური სპექტრომეტრი ზომავს მიუონური ტრეკების გადახრას $|\eta| < 2.7$ არეში მაღალი სიზუსტის ტრეკული კამერების მრავალჯერადი შრეების გამოყენებით, რომლებიც განთავსებულია ATLAS დეტექტორის თოროიდულ მაგნიტურ გელში, რომლის დაბატულობა ცენტრალურ და გევრდითი ხუფების არეებში შეადგენს დაახლოებით 0.5 ტესლას და 1 ტესლას, სათანადოდ. მიუონური სპექტრომენტრი აღჭურვილია აგერთვე თავისი ტრიგერული კამერებით ფსევდოსისტრაფის $|\eta| < 2.4$ არეში.



ნახაზი 3. ATLAS დეტექტორის სქემატური ნახაზი

3. ექსპერიმენტული და სიმულირებული მონაცემები

3.1 ექსპერიმენტული მონაცემები

აღნიშნული პროცესის შესასწავლად გამოყენებულ იქნა ექსპერიმენტული მონაცემები, რომელიც მიღებულია 2012 წელს ATLAS ექსპერიმენტში მასათა ცენტრის სისტემაში $\sqrt{s} = 8$ ტევ ენერგიაზე პროტონ-პროტონული ურთიერთქმედებების შედეგად. დამუშავებული ექსპერიმენტული მონაცემების ინტეგრალური ნაობა არის 20.3 fb^{-1} 2.8% განუზღვრელობით.

3.2 სიგნალის შესაბამისი მონაცემთა ნაკრები

მონტე-კარლო სიმულაციით მიღებული ტოპ-კვარკების წყვილური დაბადების მონაცემები (როდესაც ერთი ტოპ კვარკი იშლება აშნე-ით Z ბოზონად და უ კვარკად, მაშინ როცა მეოერე ტოპ კვარკი იშლება სტანდარტული მოდელის შესაბამისი დაშლის მოდით) დაგენერირებული იქნა ATLAS კოლაბორაციის მიერ ATLAS-ის პროგრამული სისტემის Athena-ს ფარგლებში. Protos 2.2 (PROgram for Top Simulations) პროგრამა-გენერატორის საშუალებით [47]. იგი შეიცავს ახალი ფიზიკის უფასოებს ენერგიის Λ სკალარუ, სტანდარტული მოდელის ლაგრანჯიანში უფასოები წევრის დამატებით:

$$\mathcal{L} = \mathcal{L}_{SM} + \mathcal{L}^{eff} = \mathcal{L}_4 + \frac{1}{\Lambda^2} \mathcal{L}_6 + \dots$$

სადაც $\mathcal{L}_4 = \mathcal{L}_{SM}$ და \mathcal{L}_6 შეიცავს 6 განზომილებიან ოპერატორებს. დანარჩენი (დარჩენილი) წევრები შეიცავენ 6-ზე უფრო მეტი განზომილების ოპერატორებს და დახშული იქნება $1/\Lambda^4, \dots$ ფაქტორების გამო. \mathcal{L}_6 შესაძლოა წარმოდგენილ იქნას როგორც 6 განზომილებიანი ოპერატორების O_j წრფივი კომბინაცია:

$$\mathcal{L}_6 = \sum_j C_j O_j$$

სადაც C_j კომპლექსური მუდმივებია. O_j სტანდარტული მოდელის ყალიბრულად ინგარიანტული 6 განზომილებიანი ოპერატორებია რომლებიც შეიცავენ ფერმიონულ სინგლეტებსა და დუბლეტებს, ყალიბრული ველების ტენზორებს, პიგსის დუბლეტს და კოვარიანტულ წარმოებულებს. ყველაზე ზოგადი Ztu წვეროს შესაბამისი წევრის, რომელიც წარმოიქმნება ამ 6 განზომილებიანი ოპერატორებიდან, პარამატრიზაცია შესაძლებელია შემდეგნაირად [49]:

$$\mathcal{L}_{Ztu} = -\frac{g}{2c_W} u \gamma^\mu (X_{ut}^L P_L + X_{ut}^R P_R) t Z_\mu - \frac{g}{2c_W} u \frac{i \sigma^{\mu\nu} q_\nu}{M_Z} (\kappa_{ut}^L P_L + \kappa_{ut}^R P_R) t Z_\mu + h.c.$$

სადაც $q_\nu = p_t^\nu p_u^\nu$. ანალოგიურად არის შესაძლებელი Ztc წვეროს პარამეტრიზაცია. ეს წვერო შეიცავს მინიმუმ 4 ანომალურ ბმის კონსტანტებს, რომელიც შეესაბამება PROTOS გენერატორის საწყის (შესავალ) პარამეტრებს, XL, XR, kL და kR –ს რომლებიც საჭიროა წვეროს აღსაწერად და ყოველი მათგანისათვის სრულდებოდა პირობა: XL=0.01, XR=0.01, kL=0.01, kR =0.01 [48]. $bWZc$ და $bWZu$ პროცესების შედარებისას კინემატიკის თვალსაზრისით მნიშვნელოვანი განსხვავება არ იქნა დაფიქსირებული (ნანახი) [48]. PROTOS გენერატორის საშუალებით მატრიცული ელემენტის დონეზე დაგენერირებულ იქნა მხოლოდ Z ბოზონების ლეპტონური ($Z \rightarrow e^- e^+, \mu^+ \mu^-, \tau^+ \tau^-$) და W ბოზონების ადრონული დაშლები. PROTOS გენერატორში გამოყენებული იყო CTEQ6L1[50] პარტონის განაწილების ფუნქცია წამყვანი რიგის მიახლოებისათვის. გენერაციის შემდეგ შემთხვევების ადრონიზაციისათვის გამოყენებულ იქნა PYTHIA 6.426 [51,52] პროგრამა-გენერატორი. ტოპ კვარკის მასისათვის აღებული იყო $m_t = 172.5$ გევი მნიშვნელობა, მაშინ როცა W და Z ბოზონების

მასებისათვის აღებულ იქნა მათი ცხრილური (გაზომილი) მნიშვნელობები სათანადოდ: $m_W=80.399$ გევი, $m_Z=91.1876$ გევი [53]. დატექტორის და ტრიგერის სიმულაცია ჩატარებულ იქნა ATLAS ექსპერიმენტის სტანდარტული პროგრამული პაკეტის GEANT-ის გამოყენებით [54, 55]. ექსპერიმენტული და სიმულაციის შედეგად მიღებული მონაცემებისათვის გამოყენებული იყო შემთხვევათა რეკონსტრუქციის ერთი და იგივე ალგორითმები.

3.3 ფონური პროცესების შესაბამისი მონაცემთა ნაკრებები

სტანდარტული მოდელის რამდენიმე პროცესს გააჩნია ჩვენი სიგნალის მსგავსი საბოლოო მდგომარეობის ტოპოლოგია. ეს შეიცავს შემთხვევებს საბოლოო მდგომარეობაში ორი დამუხტული ლეპტონით (რეალური ლეპტონები), ასევე შემთხვევებს, რომლებშიც ერთი ჭავლი მაინც (მძიმე კვარკების დაშლის შედეგად წარმოქმნილი ჭავლების ჩათვლით) შეცდომით არის იდენტიფიცირებული როგორც იზოლირებული დამუხტული ლეპტონი (ე.წ. “ცრუ” ლეპტონები) და ასევე შემთხვევებს საბოლოო მდგომარეობაში სამი (ოთხი) ლეპტონით რომლებშიც ერთი (ორი) არ არის აღდგენილი.

მონტე-კარლო სიმულაციის შედეგად მიღებული სტანდარტული მოდელის პროცესების შემთხვევების ნაკრებები საბოლოო მდგომარეობის ტოპოლოგიაში სულ მცირე ორი ლეპტონით იყო გამოყენებული ჩვენ ანალიზში და მათი ჩამონათვალი მოყვანილია ცხრილ 3-ში.

Z+jets ფონური პროცესის შემთხვევები დაგენერირებულ იქნა Alpgen v2.14 [56] წამყვანი რიგის გენერატორის და პარტონის განაწილების CTEQ6LI ფუნქციების ნაკრების საშუალებით [57]. პარტონების ფრაგმენტაციის და ღვარების წარმოქმნის პროცესები დამოდელირებულ იქნა Pythia 6.425 [58] გამოყენებით. ორმაგი თვლის თავიდან ასაცილებლად პარტონ-ჭავლის მონიშვნის სქემა იქნა შემოღებული [59]. Z+jets შემთხვევები დაგენერირებულია 5 დამატებით პარტონთან ერთად, ცალკე Z+ light jets (ჩვენ ანალიზში აღინიშნება როგორც Z+LF), ცალკე Zbb⁻ + jets და Zcc⁻ + jets (ჩვენ ანალიზში აღინიშნება როგორც Z+HF). ZQQ⁻ (Q=b,c) შემთხვევებს შორის გადაფარვა, რომლებიც დაგენერირებულია მატრიცული ელემენტის გამოთვლის და პარტონების ღვარების შეფასების შედეგად, თავიდან აცილებულია გარკვეული (HFOR) ალგორითმის საშუალებით, რომელიც ემყარება განსაკუთრებით მძიმე კვარკებს შორის კუთხური გარჩევის პირობას: თუ $\Delta R(Q, Q^-) > 0.4$, გამოიყენება მატრიცული ელემენტის წინასწარმეტყველა, სხვა შემთხვევაში გამოიყენება პარტონ-ღვარის წინასწარმეტყველება. Z+jets ფონური პროცესის შემთხვევები ნორმირებულია ინკლუზიურ თეორიულ კვეთაზე [60] რომელიც გამოთვლილია წამყვანი რიგის შემდეგი რიგის შემდეგი შესწორებით.

Sample	Generator
Z+jets	Alpgen+Pythia
$t\bar{t}$ SM (Dilepton)	MC@NLO+Herwig
Di-boson	Alpgen+Herwig
$Z\gamma$	Sherpa
Single top (Wt channel)	MC@NLO+Herwig
tZ	MadGraph+Pythia
$t\bar{t}\gamma$	MadGraph+Pythia
$t\bar{t}W(Z)$	MadGraph+Pythia
$t\bar{t}WW$	MadGraph+Pythia
$t\bar{t}H$	Powheg+Pythia
Tri-boson	MadGraph+Pythia

ცხრილი 3. ნაჩვენებია მონტე-კარლო სიმულაციის შედეგად მიღებული სტანდარტული მოდელის პროცესების შემთხვევების ნაკრებები საბოლოო მდგომარეობის ტოპოლოგიაში სულ მცირე ორი ლეპტონით რომლებიც გამოყენებული იყო ჩვენ ანალიზში შესაბამის პროგრამა-გენერატორებთან ერთად.

$t\bar{t}$ და ტოპ კვარკის ცალკეული (ეული, Wt არხი) დაბადების პროცესების გენერაციისათვის გემოყენებული იქნა გენერატორ MC@NLO v4.03 [61] პარტონების განაწილების CTEQ66 ფუნქციით. პარტონების დვარისა და ძირითადი შემთხვევის გენერაციისათვის გამოყენებულ იქნა HERWIG v6.5 [62].

$WW/WZ/ZZ+jets$ ფონური პროცესების შემთხვევები დაგენერირებულ იქნა ALPLGEN 2.14 [56] გენერატორის საშუალებით პარტონის განაწილების CTEQ6L1 ფუნქციების გამოყენებით და დაკავშირებული იყო დამატებით HERWIG პროგრამა-გენერატორთან პარტონების დვარების დამატების მიზნით.

$Z\gamma$ ფონის შემთხვევები დაგენერირებული იქნა SHERPA v1.4.1 [63] პროგრამა-გენერატორის საშუალებით პარტონის განაწილების CT10 ფუნქციების გამოყენებით. $t\bar{t}+W$, $t\bar{t}+Z$ და $t\bar{t}+\gamma$ შემთხვევები, ასევე დამატებითი ჭავლების შემცველი შემთხვევები და საბოლოო მდგომარეობაში სამი ბოზონის შემცველი WWW , ZWW , ZZZ და tZ შემთხვევები ერთი დამატებითი პარტონით, დაგენერირებულ იქნა MADGRAPH [64] გენერატორის საშუალებით პარტონის განაწილების CTEQ6L1 ფუნქციების გამოყენებით. პარტონების დვარები დამატებული იქნა PYTHIA გენერატორის საშუალებით. $t\bar{t}H$ მონაცემები დაგენერირებულ იქნა POWHEG [65-67] პროგრამა-გენერატორის საშუალებით პარტონის განაწილების CT10 ფუნქციების გამოყენებით, რომელიც დაკავშირებული იყო Pythia 8.1 [68]-სთან.

4. აღდგენილი ფიზიკური ობიექტები

$t\bar{t} \rightarrow bWqZ$ შემთხვევების განხილული საბოლოო მდგომარეობის სიგნატურა მოითხოვს ელექტრონების, მიუონების და ჭავლების (b -კვარკიდან წარმოქმნილი მონიშნული ჭავლების ჩათვლით) აღდგენას (რეკონსტრუქციას). τ (ტაუ) ლეპტონების პირდაპი (ცალსახად) აღდგენა არ ხდება. TopRootCoreRelease-14-00-20 პროგრამული პაკეტი იყო გამოყენებული მოცემულ ანალიზში, რომელიც შექმნილია ATLAS-ის ტოპ კვარკის ფიზიკის შემსწავლელი ჯგუფისათვის და გამოიყენება როგორც ექსპერიმენტული ისე დაგენერირებული მონაცემების ანალიზისათვის. ობიექტებისათვის მიყენებული იყო TopD3PDCorrections [69] პროგრამული პაკეტიდან მიღებული შესწორებები და მასშტაბური კოეფიციენტები. ტოპ კვარკის აღდგენის (რეკონსტრუქციის) ჯგუფის მიერ შემუშავებული ფიზიკური ანალიზისათვის ობიექტების შერჩევის მოთხოვნების დატალური აღწერა მოცემულია [70]-ში.

4.1 ელექტრონები

ელექტრონების კანდიდატების არჩევა მოხდა ელექტრო-მაგნიტური კალორიმეტრიდან მიღებული ინფორმაციის და წვეროს დეტექტორიდან მოღებული კვალების ("tracks") ინფორმაციის კომბინირების საფუძველზე აღდგენილი ელექტრონებიდან. არჩეული ელექტრონებისათვის დამატებითი მოთხოვნა იყო, რომ $|\eta| < 2.47$ და $1.37 < |\eta| < 2.52$, η_{el} არის ელექტრონის შესაბამისი ფსევდოსისტრაფე, რომელიც განსაზღვრულია ელექტრო-მაგნიტური კალორიმეტრიდან წამოსული ინფორმაციით. იმ მიზნით რომ შემცირებულიყო ფონური პროცესების შერჩევა და ელექტრონების არეგაციუდად იდენტიფიცირებულ ჭავლებთან, არჩეული ელექტრონების კანდიდატებს მოეთხოვებოდათ ყოფილიყვნენ იზოლირებული ისე, რომ ელექტრონის გარშემო $\Delta R = \sqrt{(\Delta\eta)^2 + (\Delta\phi)^2} = 0.2$ ზომის კონაში გამოყოფილი ენერგია ყოფილიყო 3.5 გევ-ზე ნაკლები. ელექტრონების კანდიდატებსა და კარგად იდენტიფიცირებულ ჭავლებს შორის უნდა შესრულებულიყო პირობა $\Delta R < 0.4$. დამატებით მოითხოვებოდა, რომ $E_T > 25$ გევ, E_T არის ელექტრონის განივი ენერგია ($E_T = E / \cosh(\eta)$). ელექტრონების კანდიდატები ამ ანალიზში აკმაყოფილებენ ე.წ. "tight ++" ხარისხის მოთხოვნას ელექტრომაგნიტური კლასტერისა და წვეროს დეტექტორში მისი შესაბამისი ტრეკისათვის რაც უზრუნველყოფს იზოლირებული ელექტრონის და ჭავლის ერთმანეთისაგან კარგ გამოყოფას (გარჩევას). ქვანტური ქრომოდინამიკის მრავალჭავლიანი ფონური პროცესების ჩახშობის მიზნით მოთხოვნილ იქნა ელექტრონის გარემონტველ სივრცეში ტაილ კალორიმეტრში მცირე ენერგო გამოყოფა. იზოლაციის ორი ცვლადი იქნა გამოყენებული: კალორიმეტრში ელექტრონის გარშემო გამოყოფილი ენერგია $\Delta R = 0.2$ კონაში და ელექტრონის გარშემო $\Delta R = 0.3$ კონაში ტრეკების განივი იმპულსების p_T ჯამი. იზოლირებული ელექტრონების შესარჩევად გამოიყენება ჩამოჭრის კრიტერიუმები ამ ორ სიდიდეზე და ჩამოჭრის მნიშვნელობები ისეა შერჩეული, რომ სიმულაციის დროს ელექტრონების იზოლაციის ეფექტურობა 90%-ის ტოლი იყოს. დამატებით მოითხოვებოდა,

რომ ელექტრონის ტრეკის დაჯახების (დარტყმის) პარამეტრის განივი მდგრენელის მნიშვნელობა შემთხვევის პირველადი წვეროს მიმართ $z_0 < 2$ მმ-ზე. უკელა შემთხვევაში შერჩეული ელექტრონების გარშემო $\Delta R < 0.2$ კონაში არსებული ჭავლების გადაყრა ხორციელდება. თუ დამატებით ნაპოვნია ჭავლი $\Delta R < 0.2$ კონაში და მისი $p_T > 25$ გევ-ზე და $|JVF| > 0.5$ -ზე, მაშინ ხდება ელექტრონის გადაგდება.

4.2 მიუონები

მიუონების კანდიდატების აღდგენა (რეკონსტრუქცია) ხორციელდება მიუონური კამერების შრეებში ტრეკების სეგმენტების ძიებით და ამ სეგმენტების კომბინირებით, დაწყებული უკელაზე გარე სეგმენტით. ტრეკის ფიტირების (აპროქსიმაციის) დროს გათვალისწინებულია ნივთიერების ეფექტები. შემდგომ ხდება შერჩეული ტრეკისთვის წვეროს დეტექტორში აღდგენილი ტრეკებიდან შესაბამისი ტრეკის შერჩევა (პოვნა). შემდგებ ხდება მიუონების შერჩეული კანდიდატებისთვის თავიდან ფიტირება ორივე დეტექტორიდან მიღებული ტრეკის სრული ინფორმაციის გამოყენებით. მოითხოვებოდა, რომ მიუონის ტრეკის დაჯახების (დარტყმის) პარამეტრის განივი მდგრენელის მნიშვნელობა შემთხვევის პირველადი წვეროს მიმართ $z_0 < 2$ მმ-ზე. უკელა მიუონისთვის მოთხოვნილ იქნა: ფსევდოსისტრაფე $|\eta| < 2.5$, $p_T > 25$ გევი და ამავე დროს მინი-იზოლაციის [71] პირობის შესრულება. თუ $\Delta R < 0.4$ კონაში ნებისმიერ მიუონთან ერთად იდენტიფიცირებული იყო ჭავლი განივი იმპულით $p_T > 25$ გევ-ზე და $|JVF| > 0.5$ -ზე მაშინ ხდებოდა შემთხვევიდან ამ მიუონის გადაგდება.

4.3 ჭავლები

ჭავლების აღდგენა (რეკონსტრუქცია) ხდება *anti-k_T* ალგორითმის [72-74] საშუალებით. ჭავლის აღდგენამდე (პოვნამდე) გამოიყენება ლოკალური კლასტერის ყალიბრების სქემა ტოპოლოგიური კლასტერის ენერგიის შესასწორებლად ე.წ. “მკვდარი” მატერიის (ნივთიერების) და კლასტერის გარეთ ენერგიის გადინების ეფექტების გათვალისწინებით [75]. შესწორებები მიღებულია დამუხსერული და ნეიტრალური ნაწილაკების სიმულაციის გამოყენებით. ეს ჭავლები შემდეგ დაყალიბრებული იქნა ადრონული ენერგიის სკალაზე (მასშტაბში) განივ იმპულს p_T -ზე და η -ზე დამოკიდებული შესწორების ფაქტორების [76] გამოყენებით. შემთხვევების მცირე წილში ჭავლები შესაძლოა არასწორად იქნას აღდგენილი რამოდენიმე “სმაურიანი” უჯრედიდან ამიტომ შემთხვევების გაწმენდის კრიტერიუმები იქნა გამოყენებული “ცუდი” ჭავლები მქონე შემთხვევების გადაყრისათვის. არჩეული ჭავლებისათვის შემდეგი პირობების შესრულება მოითხოვებოდა: $p_T > 25$ გევი და ფსევდოსისტრაფე $|\eta| < 2.5$. არჩეულ ჭავლებს შორის მეორად პროტო-პროტონულ ურთიერთქმედებებში წარმოქმნილი ჭავლების წვლილის შესამცირებლად დადებულ იქნა ჩამოჭრის პირობა ცვლადზე, რომელიც განისაზღრება როგორც ჭავლის წვეროს წილი (ნაწილი) (JVF) და მოითხოვებოდა რომ $|JVF| > 0.5$. ეს პირობა უზრუნველყოფს იმას, რომ სულ მცირე 50% ტრეკებისა რომლებიც

ასოცირებული (დაკავშირებული) არიან ჭავლებთან განივი იმპულსით $p_T < 50$ გევი და ფსევდოსისტრაფით $|\eta| < 2.4$ გამოდიან პირველადი წვეროდან.

4.4 b-ჭავლების მონიშვნა

ჭავლები არიან იდენტიფიცირებულნი როგორც წარმოქმნილი b-კვარკის (b -ჭავლების მონიშვნა) და არა მსუბუქი კვარკის ადრონიზაციის შედეგად, ძირითადად მათი გაცილებით უფრო გრძელი განარბენის გამო, რაც განპირობებულია მათი შედარებით დიდი სიცოცხლის ხანგრძლივობით. ეს განხორციელებულია ალგორითმით (MV1 ტაგერი) მრავალცვლადიანი მეთოდის გამოყენებით რათა გაერთიანდეს ინფორმაცია მიღებული როგორც წანაცვლებული (გადაადგილებული) ტრეკების დაჯახების (დარტყმის) პარამეტრებიდან, ასევე ჭავლის შიგნით აღდგენილი მეორადი და მასამეული დაშლის წვეროების ტოპოლოგიური თვისებებიდან.

ამ მეთოდში გამოყენებულია [77]-ში აღნილი IP3D, SV1 და JetFitterCombnNN ტაგერების გამომავალი წონები, რომლებიც აღწერილია [77]-ში.

ტაგირების წონები, რომლებიც გამოყენებულია ანალიზში როგორც ჩამოჭრის მნიშვნელობები ბ-ჭავლების იდენტიფიკაციისათვის პირველად გამოთვლილი იყო $t\bar{t}$ შემთხვევების ჭავლებისათვის განივი იმპულსით $p_T > 20$ გევი და ფსევდოსისტრაფით $|\eta| < 2.5$. მონტე-კარლო შემთხვევების საშუალებით განსაზღვრულ იქნა, რომ ამ ალგორითმის უფექტურობა შეადგენს 70%-ს და გადაგდების (გადაყრის, უარყოფის) ფაქტორი მსუბუქი ჭავლებისათვის, ჩარმიანი ჭავლებისათვის და t -სთვის შეადგენს 137, 5 და 13 -ს სათანადოდ.

5. pp-ურთიერთქმედებების შემთხვევების შერჩევა

$t\bar{t}$ საბოლოო მდგომარეობებს, რომლებიც შეესაბამება ტოპ კვარკის სხვადასხვა აშნდ დაშლის მოდებს, გააჩნია სხვადასხვა ტოპოლოგია შემთხვევაში არსებული ჭავლების და ლეპტონების რიცხვის (რაოდენობის) მიხედვით. ჩვენს ანალიზში აშნდ დაშლების ძიება მიმდინარეობს ტოპ კვარკების წყვილურ დაბადებაში როცა ერთი ტოპ კვარკი იშლება აშნდ დაშლით qZ -დ და მეორე კი იშლება სტანდარტული მოდელის დაშლის მოდით $t \rightarrow bW$. განხილულ იქნა Z ბოზონის ლეპტონური და W ბოზონის ადრონული დაშლები, ამრიგად საბოლოო მდგომარეობის ტოპოლოგია, რომელიც შეესაბამება $t\bar{t} \rightarrow bWqZ$, ხასიათდება ორი იზოლირებული ლეპტონის და სულ მცირე ოთხი ჭავლის არსებობით.

5.1 შემთხვევების წინასწარი შერჩევა

შემთხვევების არჩევის დროს შემდეგი წინასწარი შერჩევის კრიტერიუმები იყო გამოყენებული როგორც ექსპერიმენტული, ისე დაგენერირებული (სიმულირებული) მონაცემებისათვის:

- არჩეულ იქნა ისეთი შემთხვევები, რომლებიც არ შეიცავდნენ დამახინჯებებს, მათ შორის ელექტრო-მაგნიტური კალორიმეტრის აპარატურული დამახინჯებას, არასრულად ჩაწერილ შემთხვევებს დანადგარის ტრიგერის დიდ ადრონულ ამაჩქარებელთან დროითი სინქრონიზაციის სისტემის გადატვირთვის გამო. ექსპერიმენტული მონაცემების ყველა შემთხვევა უნდა აკმაყოფილებდეს ანალიზისათვის არჩეული ე.წ. „კარგი“ შემთხვევების კრიტერიუმს. ასევე გადაყრილი იყო შემთხვევები რომლებიც შეიცავდნენ ჭავლებს განივი იმპულსით $p_T > 20$ გევი და $E > 0$ გევი და არ სრულდებოდა ე.წ. „ცუდი“ ჭავლების გადაყრის მოთხოვნა [78].

- არჩეულ იქნა ისეთი შემთხვევები, რომლისთვისაც ჩართული იყო ელექტრონის, ან მიონის ტრიგერი. ტრიგერულ ელექტრონებს უნდა გაევლოთ EF_e24vhi_medium ან EF_e60_medium1 ტრიგერული ჯაჭვი, ხოლო მიუონებს უნდა გაევლოთ EF_mu24i_tight ან EF_mu36_tight ტრიგერული ჯაჭვი. სულ მცირე ერთ-ერთი აღდგენილი ობიექტებიდან უნდა ემთხვეოდეს (შესაბამებოდეს) სათანადო ტრიგერის ობიექტს. ელექტრონი ითვლება ტრიგერულის შესაბამისად თუ მისი ტრეკი მოთავსებულია EF ტრიგერული ელემენტის $\Delta R < 0.15$ კონაში. ანალოგიურად, მიუონებისათვის მოითხოვება რომ ტრიგერის შესაბამის ტრეკს და აღდგენილ მიუონს შორის $\Delta R < 0.15$ -ზე. მხოლოდ ლეპტონები განივი იმპულსით $p_T > 25$ გევ-ზე განიხილება ტრიგერთან შესაბამისობის პროცედურაში.

- არა - ურთიერთქმედი ფონის გამოსარიცხად, მოთხოვნილ იქნა, რომ შემთხვევაში ყოფილიყო პირველადი ურთიერთქმედების წვერო (წვეროს ტიპი უნდა ყოფილიყო ან PriVtc(1) ან PileUp(3)), რომლიდანაც გამოდის $p_T > 400$ გევ-ი განივი იმპულსის მქონე არანაკლებ 5 კვალი.

- კოსმოსური მიუონების ჩაბშობის მიზნით გადაყრილი იქნა შემთხვევები, რომლებიც შეიცავენ მიუონების წყვილს რომელთა დაჯახების (დარტყმის) პარამეტრის განივი მდგრენელებს (d_0) აქვთ საპირისპირო ნიშანი, აკმაყოფილებენ პირობას $|d_0| > 0.5$ მმ და მათ შორის აზიმუტალური კუთხე $\Delta\phi > 3.10$.

- გადაყრილ იქნა ისეთი შემთხვევები სადაც არჩეულ ელექტრონს და მიუონს აქვთ საერთო ტრეკი წვეროს დეტექტორში.

- ერთი და იგივე არომატის და საპირისპირო ნიშნის მუხტის მქონე ლეპტონების ერთი წყვილი უნდა ყოფილიყვნენ ერთი და იგივე პირველადი ურთიერთქმედების წვეროდან.

- არჩეულ შემთხვევებში დადებულ იქნა Z ბოზონების აღდგენის პირობა: $|\mathbf{m}_\perp \cdot \mathbf{m}_Z| < 10$ გევ-ზე ($\perp =$ ერთი და იგივე არომატის (ee , $\mu\mu$) და საპირისპირო ნიშნის მუხტის მქონე ლეპტონებს).

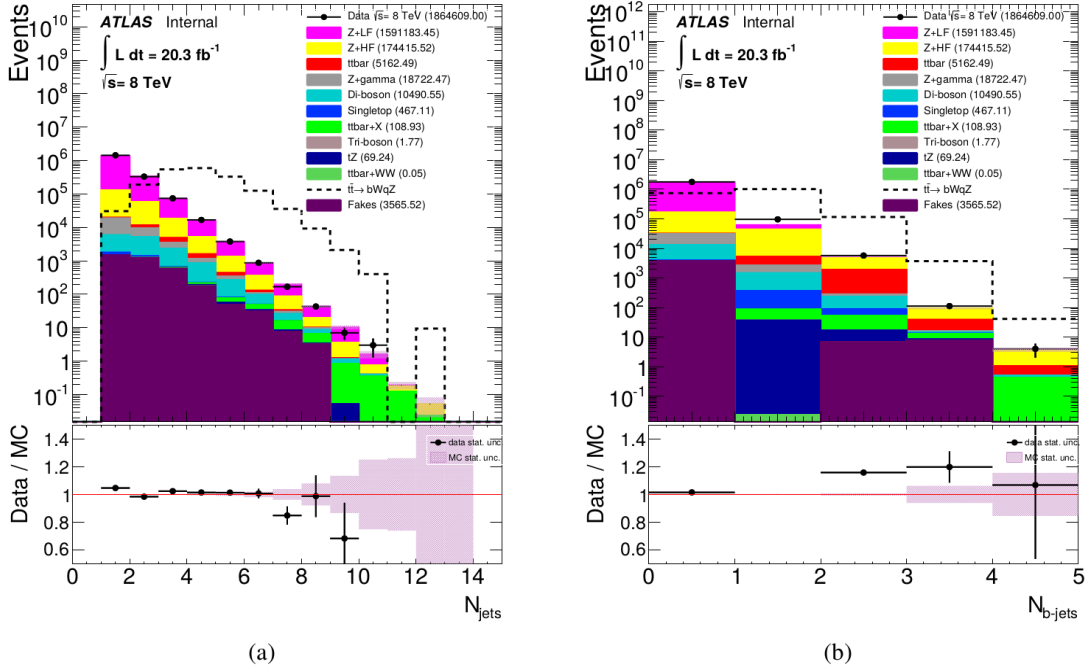
- არჩეულ შემთხვევებში უნდა ყოფილიყო სულ ცოტა ერთი ჭავლი მაინც.

წინასწარი შერჩევის კრიტერიუმების თანმიმდვრული დადების შედეგად მიღებული შედეგები მოყვანილია ცხრილ 4-ში სიგნალისა და ფონური პროცესებისათვის და ექსპერიმენტული მონაცემებისათვის.

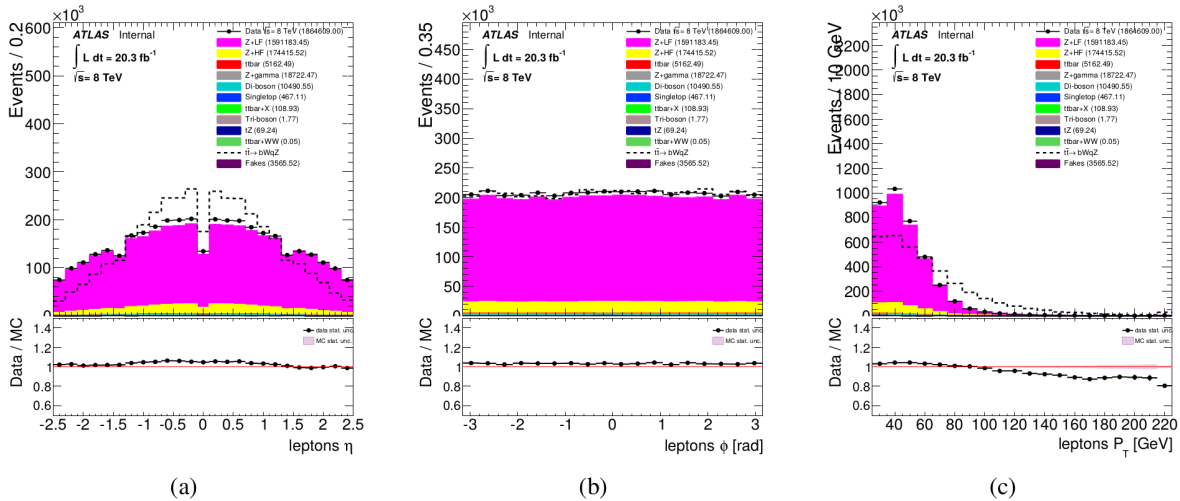
Sample	Event yields after the Preselection
Z+LF	$1\,591\,200 \pm 1400$
Z+HF	$174\,420 \pm 290$
$t\bar{t}$	5162 ± 27
Z+ γ	$18\,720 \pm 130$
Di-boson	$10\,491 \pm 29$
Single top	467 ± 15
$t\bar{t}V$	78.89 ± 0.79
Tri-Boson	1.773 ± 0.058
$t\bar{t}\gamma$	27.6 ± 1.9
$t\bar{t}H$	2.443 ± 0.031
tZ	69.24 ± 0.68
$t\bar{t}WW$	0.050 ± 0.020
Fakes	3570 ± 220
Background	$1\,804\,200 \pm 1400$
Data	$1\,864\,609$
Sig. eff. ε	0.182 ± 0.001

ცხრილი 4. ფონური პროცესების მოსალოდნელი შემთხვევების რაოდენობა, არჩეული ექსპრიმენტული შემთხვევების რაოდენობა და სიგნალის ეფექტურობა მიღებული e^-e^+ და $\mu^-\mu^+$ შემთხვევების შერჩევით როცა დილეპტონის ინვარიანტული მასა $|m_{ll} - m_z^{\text{PDG}}| < 10$ გევი და მოითხოვებოდა სულ ცოტა ერთი ჭავლის არსებობა. მხოლოდ სტატისტიკური ცდომილებებია მოყვანილი. სიგნალის ეფექტურობა შეესაბამება სიგნალის განხილულ ტოპოლოგიას ($W \rightarrow \text{hadrons}$, $Z \rightarrow ll$ ($l=e, \mu, \tau$))

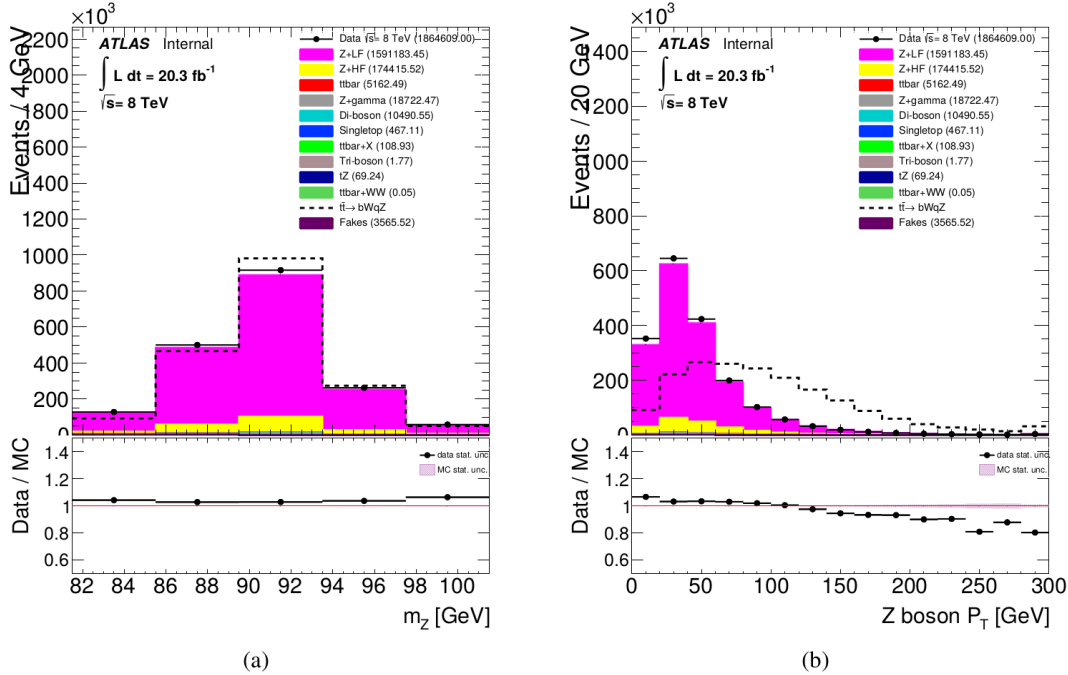
ნახ. 4-ზე წარმოდგენილია წინასწარი შერჩევის კრიტერიუმების თანმიმდევრული დადების შედეგად მიღებული განაწილებები ჭავლების მრავლობითობით და b -ტაგირებული ჭავლების მრავლობითობით; ნახ. 5-ზე მოყვანილია ლეპტონების ფსევდოსისტრაფით (η), აზიმუტალური კუთხით (φ), და განივი იმპულსით (p_T) განაწილებები; ხოლო ნახ. 6-ზე წარმოდგენილია აღდგენილი Z ბოზონების ინვარიანტული მასებით და განივი იმპულსით განაწილებები ექსპრიმენტული, სიგნალის და ფონების მონტე-კარლო შემთხვევებისათვის სათანადოდ.



ნახაზი 4. სიგნალის არისათვის წინასწარი შერჩევის კრიტერიუმების თანმიმდევრული დადების შედეგად მიღებული მოსალოდნელი და დაკვირვებული განაწილებები a) ჭავლების მრავლობითობით და b) $t\bar{t} \rightarrow WbZq$ შემთხვევების რაოდენობა ნორმირებულია ექსპერიმენტული შემთხვევების რაოდენობაზე.



ნახაზი 5. სიგნალის არისათვის წინასწარი შერჩევის კრიტერიუმების თანმიმდევრული დადების შედეგად მიღებული მოსალოდნელი და დაკვირვებული განაწილებები a) ლეპტონების ფსევდოსისტრაფით (η), b) აზიმუტალური კუთხით (ϕ) და c) განივი იმპულსით (p_T). $t\bar{t} \rightarrow WbZq$ შემთხვევების რაოდენობა ნორმირებულია ექსპერიმენტული შემთხვევების რაოდენობაზე.



(a)

(b)

ნახაზი 6. სიგნალის არისათვის წინასწარი შერჩევის კრიტერიუმების თანმიმდევრული დადების შედეგად მიღებული მოსალოდნელი და დაკვირვებული განაწილებები a) აღდღენილი Z ბოზონების ინგარიანტული მასებით და b) განივი იმპულსით. $t\bar{t} \rightarrow WbZq$ შემთხვევების რაოდენობა ნორმირებულია ექსპერიმენტული შემთხვევების რაოდენობაზე.

ცხრილ 4-ში მოყვანილია ექსპერიმენტული და თითოეული ფონური პროცესისათვის შემთხვევების რაოდენობა (გამოსავალი). წინასწარი შერჩევის კრიტერიუმების დადების შემდეგ ძირითადი ფონია $Z + \text{jets}$ დაბადება. ცხრილიდან ჩანს, რომ ექსპერიმენტულ მონაცემთა რაოდენობა მეტია ვიდრე ფონური პროცესების მონტე-კარლო სიმულირებული შემთხვევების რაოდენობა. ეს შესაძლოა გამოწვეულია მონტე-კარლო გენერატორების წამყვანი რიგის მიახლოებაში ვექტორული ბოზონების ჭავლებთან ერთად დაბადების პროცესების განერაციისას მძიმე არომატის მქონე ჭავლების შედგენილობის წინასწარმეტყველების შეზღუდულ (სუსტ) შესაძლებლობასთან. წარმოდგენილ ანალიზში $Z + \text{jets}$ შემთხვევები დაგენერირებულია როცა Z ბოზონთან ერთად წარმოიქმნება დამატებით 5-მდე სხვადასხვა არომატის მქონე პარტონები (bb^- , cc^- და bb^+). ამის შემდეგ $Z + \text{jets}$ შემთხვევების ნორმირება იქნა ჩატარებული.

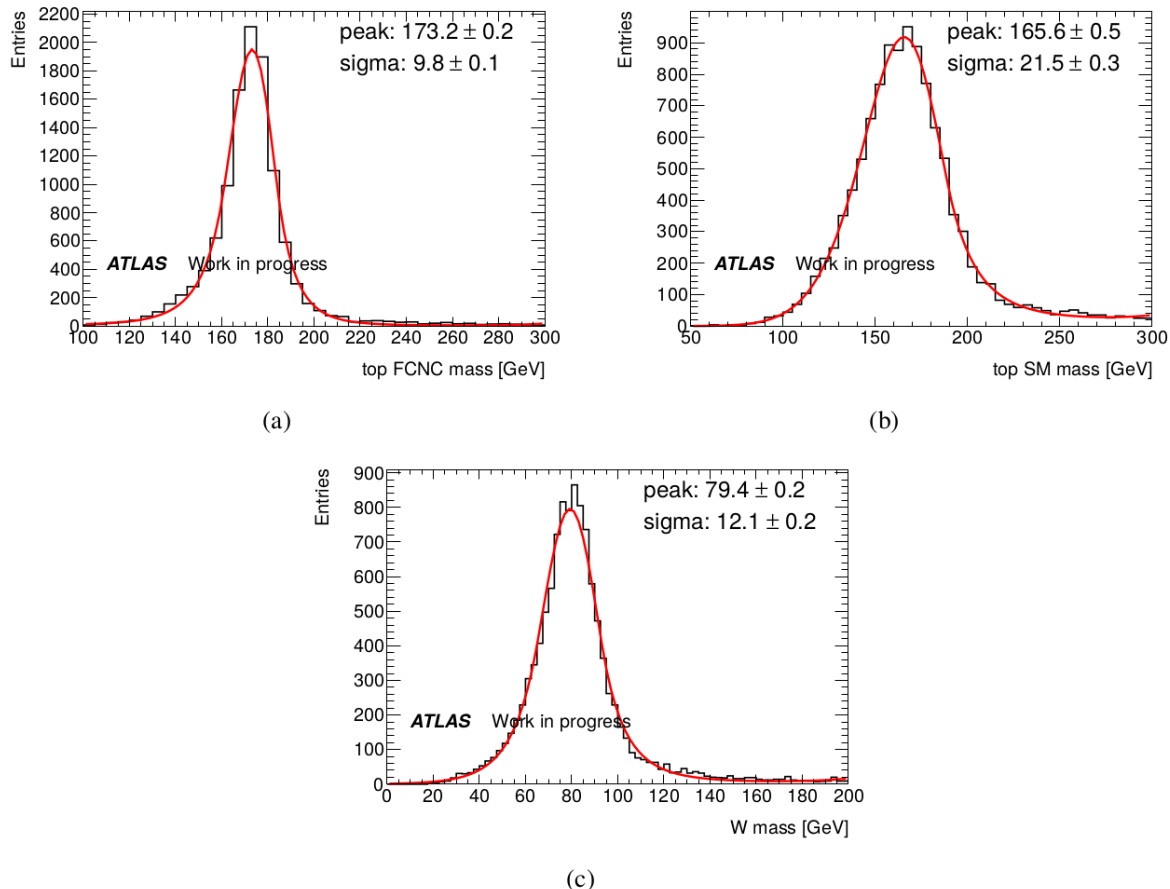
5.2 შემთხვევების საბოლოო შერჩევა და აღდგენა (რეკონსტრუქცია)

$t\bar{t} \rightarrow bWqZ$ შემთხვევების სიგნატურა შეიცავს ზუსტად ერთ b -ჭავლს, შესაბამისად შერჩეულ იქნა ზუსტდ ერთ b -ჭავლიანი შემთხვევები.

შემთხვევებში ზუსტად ერთი ტაგირებული b -ჭავლის არსებობის შერჩევის კრიტერიუმის მოთხოვნის შემდეგ არჩეულ იქნა ისეთი შემთხვევები სადაც უნდა ყოფილიყო სულ მცირე 4 ჭავლი (b -ჭავლის ჩათვლით). W ბოზონის მსუბუქი კვარკის (აღინიშნება როგორც ქ) და b -კვარკის აღსაღენად ხდებოდა შემდეგი გამოსახულების მინიმიზაცია W ბოზონის, მსუბუქი კვარკის (აღინიშნება და b -კვარკის დაწყვილებით ჭავლების სხვადასხვა კომბინაციებთან:

$$\chi^2 = \frac{(m_{j_a j_b j_c}^{reco} - m_t)^2}{\sigma_{t_{SM}}^2} + \frac{(m_{j_d l_a l_b}^{reco} - m_t)^2}{\sigma_{t_{FCNC}}^2} + \frac{(m_{j_b j_c}^{reco} - m_W)^2}{\sigma_W^2} \quad (1)$$

სადაც $m_{j_a j_b j_c}^{reco}$ და $m_{j_d l_a l_b}^{reco}$ არის ტოპ კვარკის აღდგენილი (რეკონსტრუირებული) მასა, როცა იგი იშლება სტანდარტული მოდელის მიხედვით და აშნდ დაშლის მოდით, შესაბამისად. $m_{j_b j_c}^{reco}$ არის W ბოზონის მასა. χ^2 მინიმიზაციის პროცედურის დროს b -კვარკი დაწყვილებული იყო მხოლოდ b -ჭავლთან. შემდეგი მნიშვნელობები იყო გამოყენებული (1) ფორმულაში ტოპ კვარკების და W ბოზონის მასებისათვის: $m_t = 172.5 \text{ GeV}$, $m_W = 80.4 \text{ GeV}$. სიგანები ($\sigma_{t_{SM}}$, $\sigma_{t_{FCNC}}$, σ_W) მიღებული იქნა განაწილებების ბუკინის ფუნქციით [79] ფიტირების შედეგად (ნახ. 7). განაწილებების მისაღებად არჩეული იქნა PROTOS გენერატორის მიერ გენერაციის დონეზე (დანაღვარში გატარებისა და მისი მახასიათებლების გაცოვალისწინების გარეშე) მიღებულ ლეპტონებთან და კვარკებთან ყველაზე ახლოს ყოფი (მინიმალური $\Delta R = \sqrt{(\Delta\eta)^2 + (\Delta\phi)^2}$ მქონე) ლეპტონები და ჭავლები. ეს წარმოადგენს აღდგენილი ტოპ კვარკების და W ბოზონების ოპტიმალურ დეტექტორის მასურ გარჩევისუნარიანობას. ნახ.7 -ზე ნაჩვენებია აკროქსიმაციის მრუდები და მოყვანილია მასების საშუალო მნიშვნელობები და სტანდარტული გადახრები. განაწილებები მიღებულ იქნა წინასწარი შერჩევის კრიტერიუმების თანმიმდვრული დადების დონეზე ზუსტად ორი ლეპტონის არსებობის მოთხოვნამდე. ჭავლების ყველა კომბინაციებიდან არჩეული იყო მინიმალური χ^2 მქონე ჭავლები. მის შემდეგ შესაძლებელი იყო შემთხვევების აღდგენა (რეკონსტრუქცია) და შემთხვევების საბოლოო არჩევა დასრულდა იმის მოთხოვნით, რომ აღდგენილი ტოპ კვარკების და W ბოზონის ინვარიანტული მასები უნდა ყოფილიყო შემდეგ მასურ ფანჯრებში: $|m_{t_{FCNC, SM}}^{reco} - m_t| < 40 \text{ გევი}$ და $|m_{t_{FCNC, SM}}^{reco} - m_W| < 30 \text{ გევი}$. ინვარიანტულ მასაზე ჩამოჭრის კრიტერიუმის დადების შემდეგ აღდგენილ (რეკონსტრუირებულ) კვარკებსა და სიმულაციის შედეგად მიღებულ ნაწილაკებს შორის სწორი შესაბამისობის წილი შეადგენს $\varepsilon_{tops} = 69.8\%$. სიგნალის ფონურ პროცესებთან უკეთესი ფარდობისათვის მნიშვნელოვანია რომ $\varepsilon_{tops} - s$ მნიშვნელობა იყო რაც შეიძლება მეტი. $\varepsilon_{tops} - s$ მოთხოვნის მინიმიზაციისათვის მოთხოვნილ იქნა დიდი განივი იმპულესების მქონე ჭავლების არსებობა: χ^2 მინიმიზაციამდე შემთხვევებში მოთხოვნილ იქნა სულ ცოტა 4 ჭავლის არსებობა განივი იმპულსით $p_t > 30 \text{ გევი}$ (b -ჭავლის ჩათვლით) და შემდეგ არჩეულ (განხილულ) იქნა ასეთი შემთხვევები. ამის შემდეგ მიღებულ იქნა $\varepsilon_{tops} = 71.6\%$.



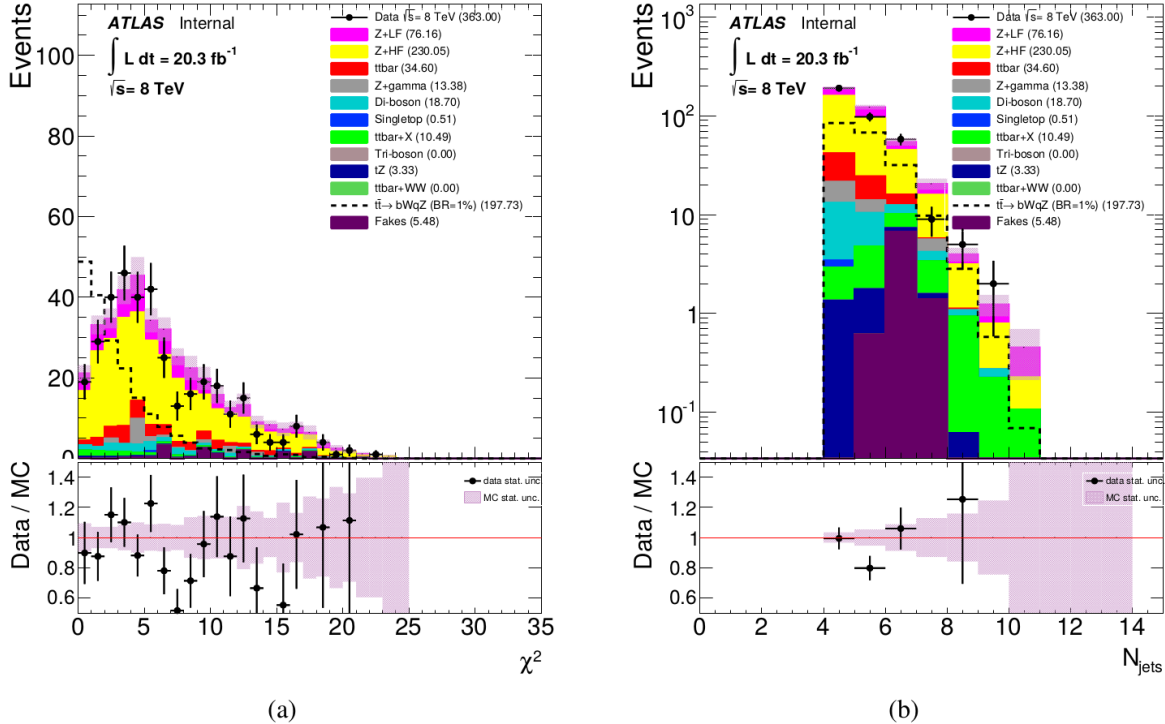
ნახაზი 7. ინვარიანტული მასების ბუკინის ფუნქციით აპროქსიმაცია:
 a) ტოპ კვარკი იშლება FCNC დაშლის მოდიო $t \rightarrow qZ$, b) ტოპ კვარკი იშლება სტანდარტული მოდელის დომინანტური მოდიო $t \rightarrow bW$ c) W ბოზონი, რომელიც აღდგენილია ობიექტებისგან რომლებსაც აქვთ მინიმალური ΔR გენერატორ $PROTOS$ -ის მიერ დაგენერირებული ნაწილაკების მიმართ. ნახაზზე მოყვანილია განაწილებების საშუალო მნიშვნელობები და სტანდარტული გადახრები.

სიგანლის არეს შერჩევისათვის შემდეგი საბოლოო შერჩევის კრიტერიუმები იქნა დადგენილი:

- შემთხვევებში უნდა ყოფილიყო ზუსტად ერთი ტაგირებული b -ჭავლი.
 - შემთხვევებში უნდა ყოფილიყო სულ მცირე 4 ჭავლი განივი იმპულსით $p_T > 30$ გევი (ტაგირებული b -ჭავლის ჩათვლით).
 - $|m_{tops}^{reco} - m_t| < 40$ გევი და $|m_W^{reco} - m_w| < 30$ გევი .

საბოლოო შერჩევის კრიტერიუმების დადგების შედეგად მიღებული შემთხვევების რაოდენობა მოყვანილია ცხრილ 5-ში. ღოგორც მოსალოდნელი იყო ძირითადი ფონური პროცესია $Z+jets$. 363 შემთხვევა არის დამზერილი ექსპერიმენტულ მონაცემებში საბოლოო შერჩევის კრიტერიუმების დადგების შემდეგ და თანხვედრაშია მოსალოდნელ ფონური პროცესების რიცხვთან.

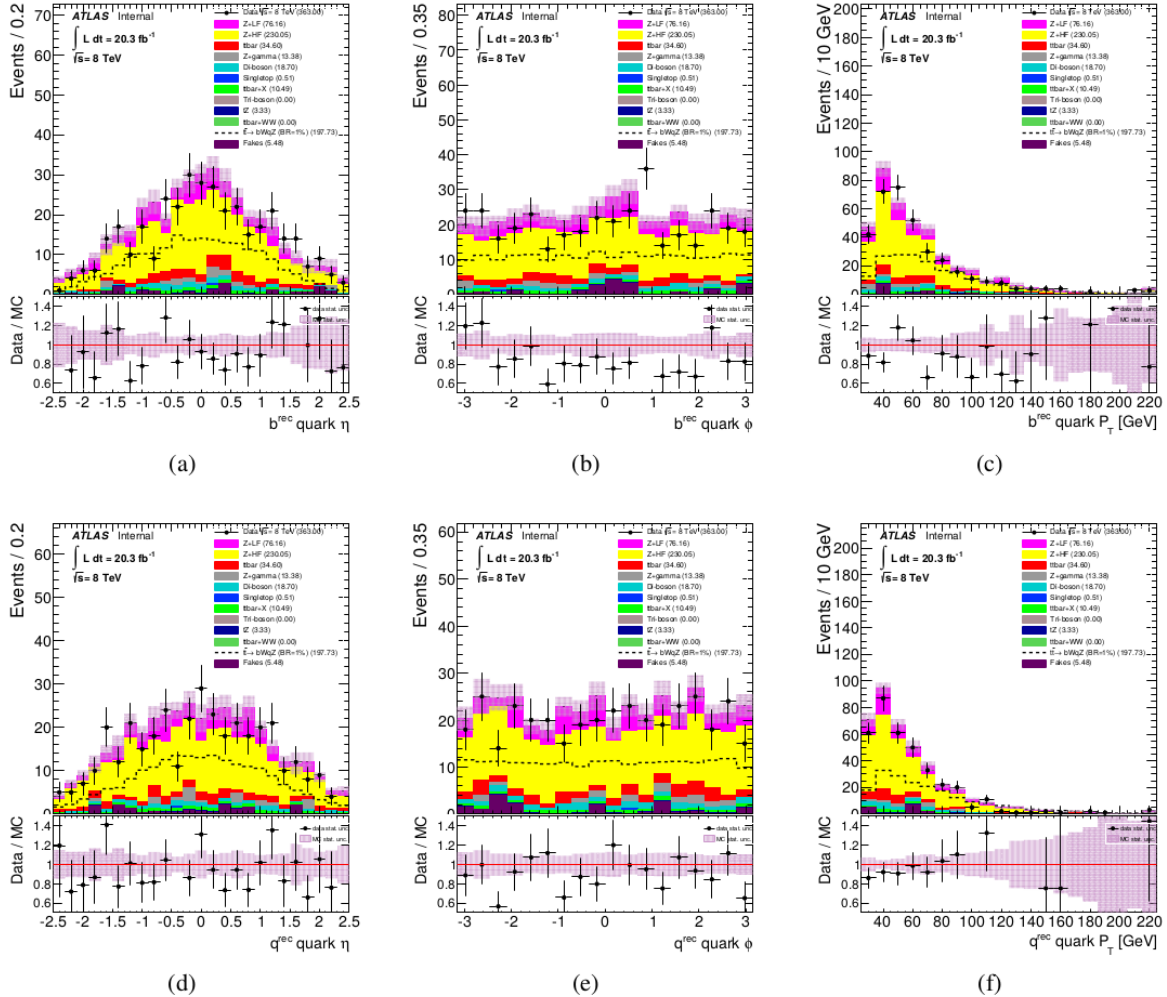
ნახ. 8-ზე წარმოდგენილია χ^2 განაწილება და ჭავლების მრავლობითობის განაწილება. ნახ. 9 და 10-ზე ნაჩვენებია აღდგენილი b , q კვარკების და ლეპტონების ფსევდოსისტრაფით (η), აზიმუტალური კუთხით (ϕ), განივი იმპულსით (p_T) განაწილებები. ნახ. 11-ზე წარმოდგენილია Z და W ბოზონების განივი იმპულსით (p_T) განაწილებები, ხოლი ნახ. 12-ზე ნაჩვენებია Z , W ბოზონების და ტოპ კვარკის ინვარიანტული მასებით განაწილებები არომატის შემცვლელი ნეიტრალური დენებით მიმდინარე დაშლის (FCNC) პიპოთეზისათვის და სტანდარტული მოდელის (SM) პიპოთეზისათვის ექსპერიმენტული, სიგნალის და ფონების მონტე-კარლო შემთხვევებისათვის.



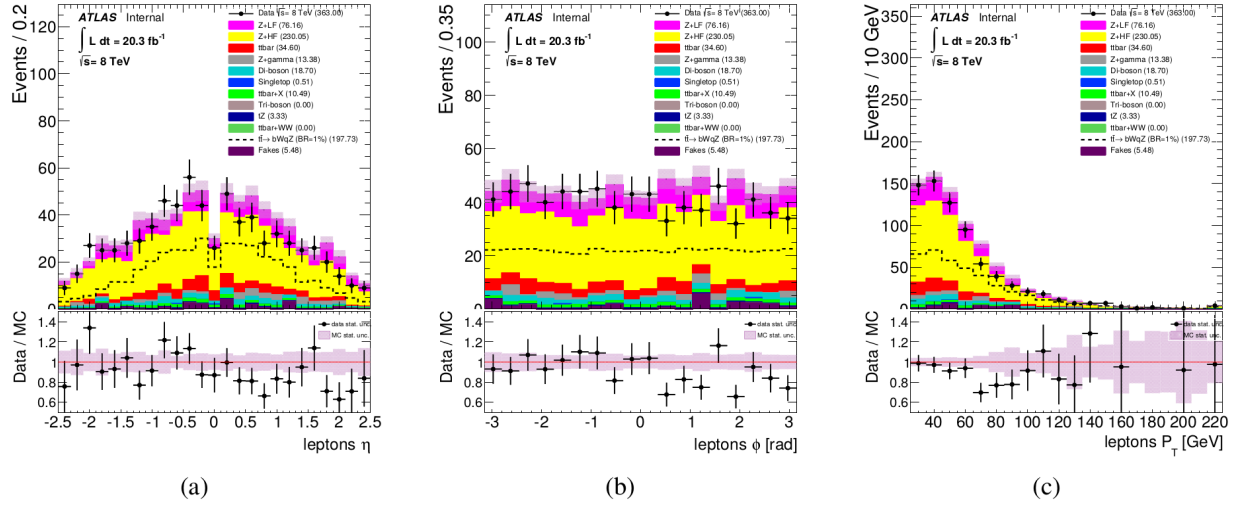
ნახაზი 8. საბოლოო შერჩევის კრიტერიუმების თანმიმდევრული დადების შედეგად მიღებული და მოსალოდნელი განაწილებები სიგნალის არისათვის a) χ^2 b) ჭავლების მრავლობითობის განაწილება. სიგნალი ნორმირებულია $t \rightarrow qZ$ დაშლის 1% ფარდობით ალბათობაზე.

Sample	Event yields after the Final Selection
Z+LF	76.2 ± 5.1
Z+HF	230.1 ± 5.6
$t\bar{t}$	34.6 ± 2.4
Z+ γ	13.4 ± 3.8
Di-boson	18.7 ± 1.1
Single top	0.51 ± 0.51
$t\bar{t}V$	9.99 ± 0.29
Tri-Boson	0
$t\bar{t}\gamma$	0.39 ± 0.22
$t\bar{t}H$	0.1127 ± 0.0065
tZ	3.3 ± 0.14
$t\bar{t}WW$	0
Fakes	5.5 ± 7.5
Background	$393 \pm 12^{+69}_{-65}$
Data	363
$t\bar{t} \rightarrow bWqZ$ (BR=1%)	$198 \pm 3^{+22}_{-24}$
Sig. eff. ε	$0.0285 \pm 0.0004^{+0.0027}_{-0.0029}$

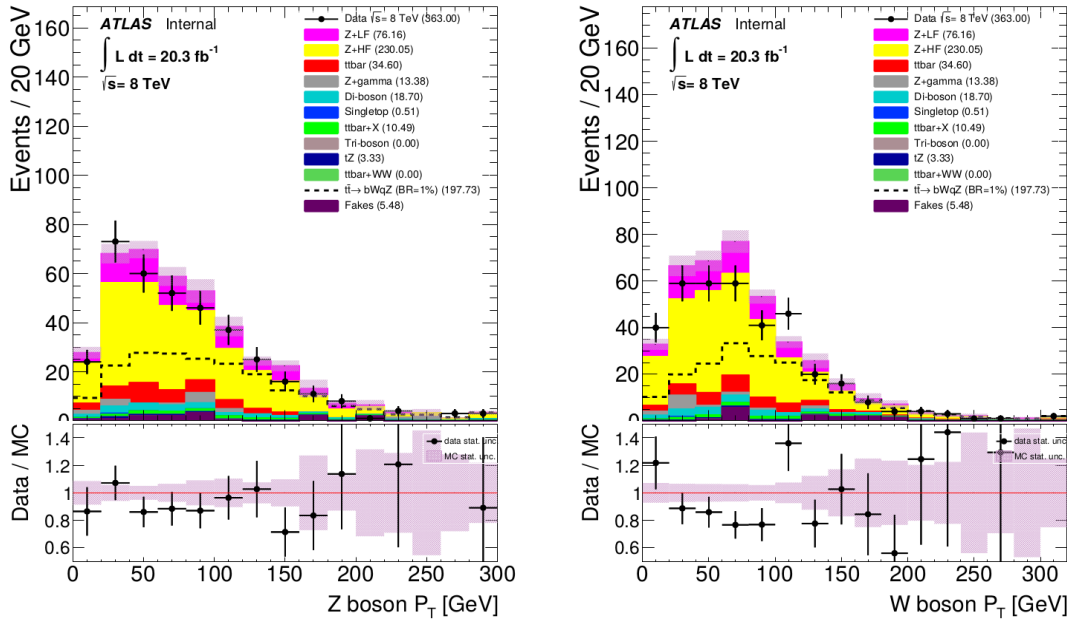
ცხრილი 5. ფონური პროცესების მოსალოდნელი შემთხვევების რაოდენობა, არჩეული ექსპერიმენტული შემთხვევების რაოდენობა და სიგნალის ეფექტურობა მიღებული საბოლოო შერჩევის კრიტერიუმების გამოყენებით. სიგნალის შემთხვევების რიცხვი ნორმირებულია $t \rightarrow qZ$ დაშლის 1% ფარდობით ალბათობაზე. სიგნალის ეფექტურობა შეესაბამება სიგნალის განხილულ ტოპოლოგიას ($W \rightarrow \text{hadrons}$, $Z \rightarrow ll$ ($l = e, \mu, \tau$)). თვითული ფონური პროცესისათვის მოყვანილია მხოლოდ სტატისტიკური ცდომილებები. ფონების ჯამური რიცხვისათვის, სიგანლის რიცხვისა და ეფექტურობისათვის ცდომილებები ნაჩვენებია როგორც მნიშვნელობა $\pm \Delta_{\text{stat.}}^{\Delta_{\text{syst.}}}$.



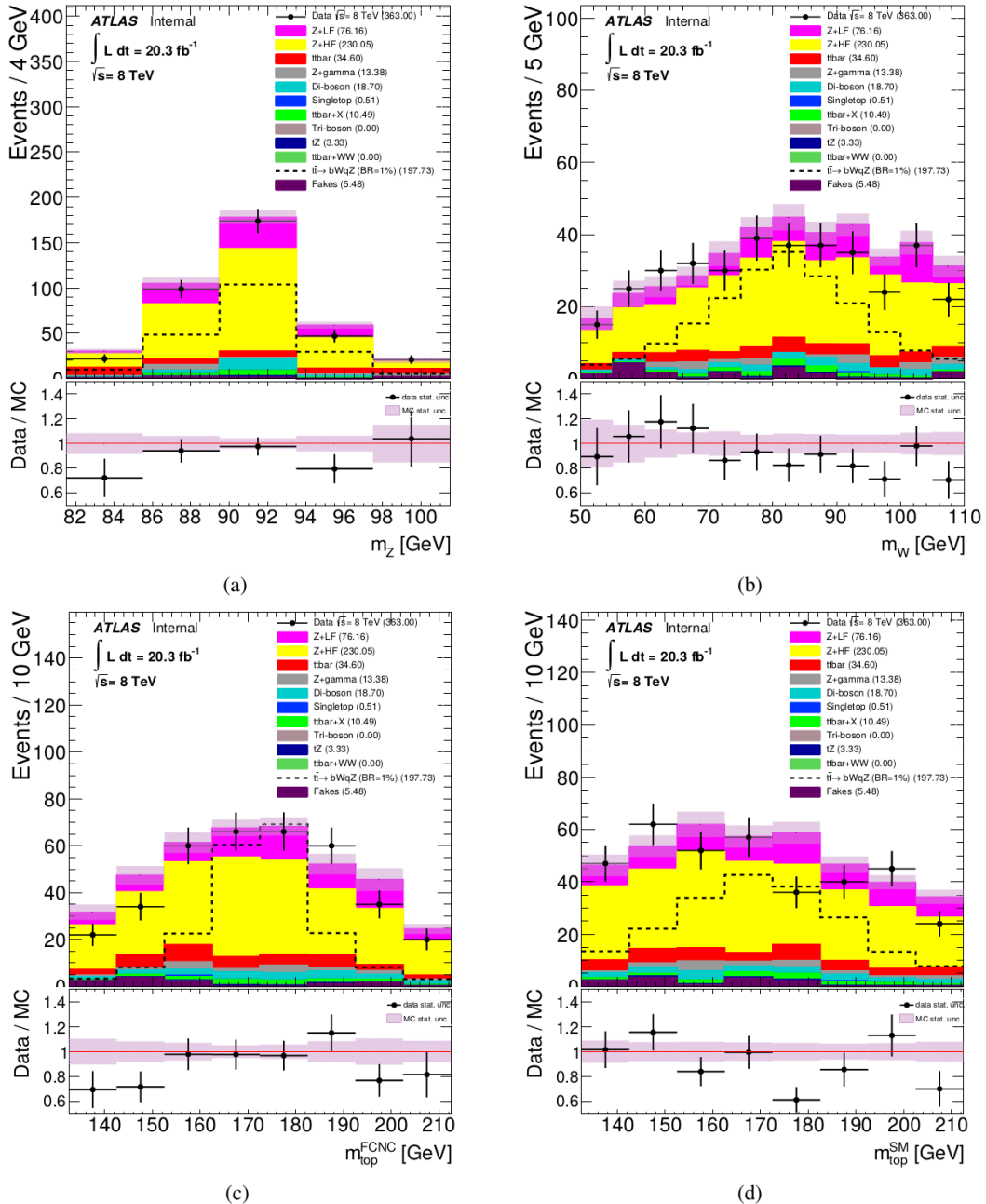
ნახაზი 9. საბოლოო შერჩევის კრიტერიუმების თანმიმდევრული დადების შედეგად მიღებული და მოსალოდნელი განაწილებები სიგნალის არისათვის აღდგენილი a) b კვარკის ფსევდოსისტრაფით (η) b) b კვარკის აზიმუტალური კუთხით (ϕ) c) b კვარკის განივი იმპულსით (p_T) d) q კვარკის ფსევდოსისტრაფით (η) e) q კვარკის აზიმუტალური კუთხით (ϕ) f) q კვარკის განივი იმპულსით (p_T). სიგნალი ნორმირებულია $t \rightarrow qZ$ დაშლის 1% ფარდობით ალბათობაზე.



ნახაზი 10. საბოლოო შერჩევის კრიტერიუმების თანმიმდვრული დადების შედეგად მიღებული და მოსალოდნელი განაწილები სიგნალის არისათვის a) ლეპტონების ფსევდოსისტრაფით (η) b) ლეპტონების აზიმუტალური კუთხით (φ) c) ლეპტონების განივი იმპულსით (p_T). სიგნალი ნორმირებულია $t \rightarrow qZ$ დაშლის 1% ფარდობით ალბათობაზე.



(a) (b)
ნახაზი 11. საბოლოო შერჩევის კრიტერიუმების თანმიმდვრული
დადების შედეგად მიღებული და მოსალოდნელი განაწილებები
სიგნალის არისათვის a) Z b) W ბოზონების განივი იმპულსით (pt).
სიგნალი ნორმირებულია $t \rightarrow qZ$ დაშლის 1% ფარდობით ალბათობაზე.



ნახაზი 12. საბოლოო შერჩევის კრიტერიუმების თანმიმდვრული დადგების შედეგად მიღებული და მოსალოდნელი განაწილებები სიგნალის არისათვის a) აღდგენილი Z პოზონების ინვარიანტული მასებით b) აღდგენილი W პოზონების ინვარიანტული მასებით c) აღდგენილი ტოპ კვარკის ინვარიანტული მასებით არომატის შემცველელი ნეიტრალური დენებით მიმდინარე დაშლის (FCNC) ჰიპოთეზისათვის d) აღდგენილი ტოპ კვარკის ინვარიანტული მასებით სტანდარტული მოდელით (SM) მიმდინარე დაშლის ჰიპოთეზისათვის. სიგნალი ნორმირებულია $t \rightarrow qZ$ დაშლის 1% ფარდობით ალბათობაზე.

6. ფონური პროცესები

შემთხვევების საბოლოო შერჩევის შემდეგ ძირითადი (დომინანტური) ფონური პროცესებია tt^- და $Z+jets$ დაბადება. მცირე წვლილი შეაქვთ დიბოზონების (WW , WZ , ZZ) დაბადების პროცესს, ასევე ვექტორული ბოზონების (W,Z) და tt^- წყვილების ასოციატიური დაბადების, უ და Z ბოზონის ასოციატიური დაბადების, ჰიგსის ბოზონის და tt^- წყვილების ასოციატიური დაბადების, ისევე როგორც უ და tt^- წყვილების ასოციატიური დაბადების, ეული ტოპ კვარკის და Z ბოზონის ასოციატიური დაბადების და ეული კვარკის დაბადების პროცესებს. სევე მცირე წვლილია მოსალოდნელი ე.წ. “ცრუ” ლეპტონების შემცველი შემთხვევებიდან. გელა ეს ფონური პროცესები “ცრუ” ლეპტონების შემცველი შემთხვევების გარდა, შეფასებულია მონტე-კარლო სიმულაციის მეშვეობით და ნორმირებულია შესაბამის თეორიულ კვეთებზე. $Z+jets$ ფონური პროცესის მძიმე არომატის შემცველი კომპონენტი განსაზღვრულია ექსპერიმენტული მონაცემებიდან.

6.1 ფონური პროცესების ექსპერიმენტული მონაცემებით შეფასება

6.1.1 $Z+jets$ ფონური პროცესი

წამყვანი რიგის მიახლოების მონტე-კარლო პროგრამა გენერატორების ერთ-ერთ ცნობილ პრობლემას (სუსტ ადგილს, სუსტ წერტილს) წარმოადგენს ვექტორულ ბოზონებთან ერთად ასოციატიურად დაბადებული ჭავლების პროცესებში მძიმე არომატის კვარკებიდან წამოსული ჭავლების ქვეპროცესების წილის სწორად წინასწარმეტყველების შესაძლებლობა. რადგან $Z+LF$ ($Z+მსუბუქი არომატის$ (ა,ბ,ს,კვარკები) მქონე კვარკებიდან წამოსული ჭავლები) და $Z+HF$ ($Z+მძიმე არომატის$ (ბ,ც კვარკები) მქონე კვარკებიდან წამოსული ჭავლები) პროცესები დაგენერირებულია ცალკალკული, შესაძლებელია $Z+jets$ მონაცემების ნორმირება ორი საკონტროლო რეგიონის (არეს) შერჩევით, სადაც $Z+LF$ და $Z+HF$ პროცესების წილი მნიშვნელოვნად განსხვავდება, და ამ საკონტროლო რეგიონებში თანადროული ფიტირების ჩატარებით. მონტე-კარლო გენერატორის სისუსტე შეიძლება განსხვავდებოდეს სხვადასხვა კინემატიკურ რეგიონებში, ამიტომაც უმჯობესია, რომ $Z+jets$ მონაცემების ნორმირების საკონტროლო რეგიონები (არეები) კინემატიკურად ახლოს უნდა იყოს სიგნალის არესთან. ამ იდეის გათვალისწინებით $Z+LF$ ფონური პროცესის საკონტროლო რეგიონი (CR^{Z+LF}) განისაზღვრება როგორც რეგიონი, რომელშიც $tt^- \rightarrow WbZq$ შემთხვევები აღღგენილ იქნა შემდეგი პირობების მოთხოვნით:

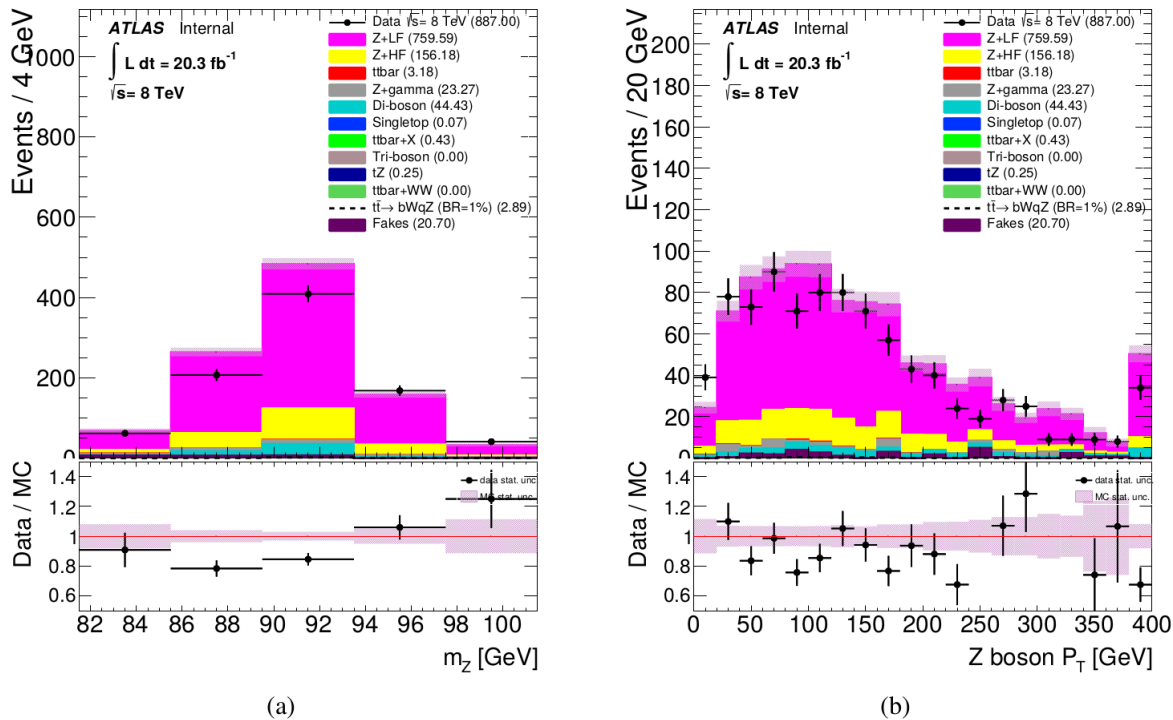
- ამ არეში უნდა მოხვედრილიყო შემთხვევები, რომლებშიც გვაქვს მხოლოდ ჭავლები b -ტაგირების (მონიშვნის) გარეშე
- სულ მცირე 4 ჭავლი განივი იმპულსით $p_T > 30$ გევი
- $|m_{t\text{ FCNC,SM}^{\text{reco}} - m_{\text{top}}}| > 40$ გევ-ზე და $|m_W^{\text{reco}} - m_W| > 30$ გევ-ზე

ხოლო $Z+HF$ ფონური პროცესის საკონტროლო არისათვის შემდეგი პირობები იქნა გამოყენებული:

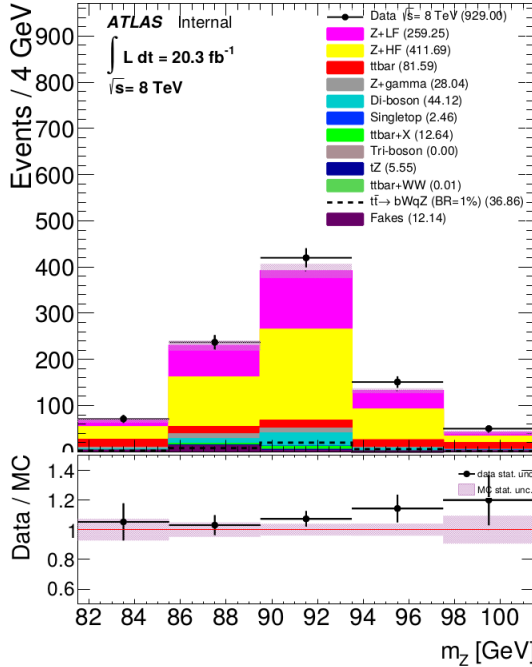
- სულ მცირე ერთი b -ტაგირებული (მონიშნული) ჭავლის არსებობა შემთცვევაში
- სულ მცირე 4 ჭავლი (b -ტაგირებულ ჭავლების ჩათვლით) განივი იმპულსით $p_T > 30$ გევ
- $|m_{t\text{ FCNC}^{\text{reco}}}-m_{\text{top}}| > 40$ გევ-ზე

$Z+HF$ და $Z+LF$ საკონტროლო რეგიონებში აღდგენილი Z ბოზონების ინვარიანტული მასებით და განივი იმპულსით p_T შესწორებების გარეშე მოყვანილია ნახ. 13-ზე და 14-ზე შესაბამისად.

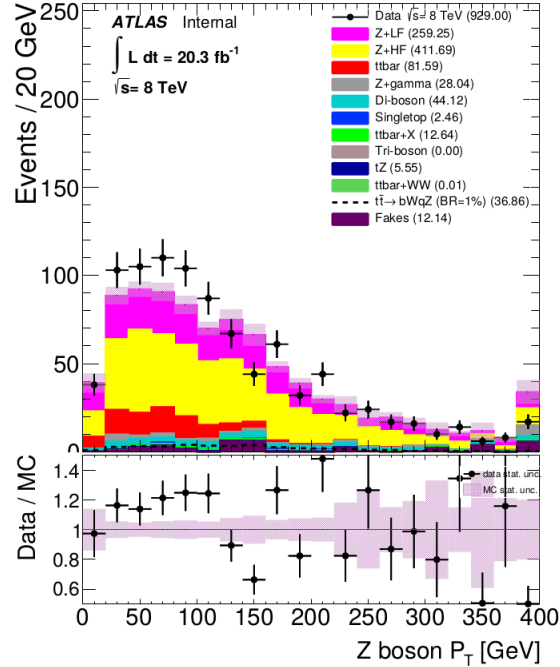
შესწორების კოეფიციენტები (ფაქტორები) 0.78 ± 0.11 $Z+LF$ ფონისთვის და 1.32 ± 0.21 $Z+HF$ ფონისთვის მიღებულია მათი შესაბამისი საკონტროლო რეგიონებიდან ფიტირების შედეგად და გამოყენებულია $Z+jets$ ფონური პროცესის მონტეკარლო მონაცემებისათვის. ამ შესწორების კოეფიციენტების ცდომილებები მიღებულია ფიტირებიდან.



ნახაზი 13. $Z+LF$ საკონტროლო რეგიონი: განაწილებები a) აღდგენილი Z ბოზონის ინვარიანტული მასით b) აღდგენილი Z ბოზონის განივი იმპულსით p_T .



(a)



(b)

ნახაზი 14. Z+HF საკონტროლო რეგიონი: განაწილები ა) აღდგენილი Z ბოზონის ინვარიანტული მასით ბ) აღდგენილი Z ბოზონის განივი იმპულსით p_T .

6.1.2 ცრუ ლეპტონების ფონური პროცესი

ყველა პროცესი რომლის საბოლოო მდგომარეობაში ორი იზოლირებული ლეპტონია შეიძლება განხილულ იქნას როგორც $t\bar{t} \rightarrow ZqWb$ ($W \rightarrow jj$, $Z \rightarrow ll$) შემთხვევების ფონური პროცესი. ისეთი ფონური პროცესების წვლილი, რომლებიც შეიცავენ შემთხვევებს ე.წ. “ცრუ” ლეპტონებით, მცირეა, რადგან არჩეულ იქნა e^-e^+ და $\mu^-\mu^+$ შემთხვევები, როცა დილეპტონის ინვარიანტული მასა $|m_{ll} - m^{PDG}_Z| < 10$ გევი. ასეთი ფონური პროცესების წვლილი შეფასებულ იქნა ე.წ. მატრიცული მეთოდის გამოყენებით [87-88]. როგორც მოსალოდნელი იყო, გაზომილი “ცრუ” ლეპტონებით ფონების წვლილი უმნიშვნელო.

7. სისტემატიკური განუზღვრელობები

სხვადასხვა სისტემატიკურმა განუზღვრელობებმა შესაძლოა გავლენა მოახდინონ სიგნალის და/ან ფონური პროცესების შეფასებულ მოსალოდნელ რიცხვებზე. შესწავლილ იქნა ყველა ძირითადი შესაძლო სისტემატიკური განუზღვრელობის წარმოშობის წყარო და მისი გავლენა საბოლოო შედეგებზე [80-86,89-93]. ყოველი სისტემატიკური განუზღვრელობისათვის გამოყენებული აღნიშვნის განმარტება მოცემულია

ცხრილ 6-ში, ხოლო თითოეული მათგანის გავლენა სიგნალსა და ფონურ პროცესებზე ასახულია ცხრილ 7-ში.

btag	<i>b</i> -tagging scale factors
mistag	<i>b</i> -tagging mis-tag rate
ctautag	<i>b</i> -tagging c/τ tag rates
jvf	Jet vertex fraction
jer	Jet energy resolution
jeff	jet reconstruction efficiency
BJesUnc	Jet energy scale B-JES
JesEffectiveModel	Jet energy scale effective model
JesEffectiveDetN	N-th component of Jet energy scale effective detector
JesEffectiveStatN	N-th component of Jet energy scale effective statistical
JesEffectiveMixN	N-th component of Jet energy scale effective mix
EtaIntercalibration	Jet energy scale η inter-calibration
flavor_comp	Jet energy scale flavor composition
flavor_response	Jet energy scale flavour response
closeby	Jet energy scale topology
Pileup_Rho	Jet energy scale pileup ρ
Pileup_OffsetNPV	Jet energy scale pileup offset (NPV)
Pileup_OffsetMu	Jet energy scale pileup offset (μ)
Pileup_Pt	Jet energy scale pileup (p_T)
SinglePart	Jet energy scale single-particle
el_idSF	electron ID efficiency scale factor
el_recSF	electron reconstruction efficiency scale factor
el_trigSF	electron trigger efficiency scale factor
eer	electron energy resolution
ees	electron energy scale
mu_idSF	muon ID efficiency
mu_recSF	muon reconstruction efficiency
mu_trigSF	muon trigger efficiency
mums	muon momentum resolution (MS)
moid	muon momentum resolution (ID)
musc	muon momentum scale
Zlight_norm	Z+light flavour jets background Data-Driven normalization
Zheavy_norm	Z+heavy flavour jets background Data-Driven normalization
$\sigma_{t\bar{t}}$	$t\bar{t}$ cross section
$\sigma_{t\bar{t}+V}$	$t\bar{t} + V$ cross section
$\sigma_{diboson}$	diboson cross section
diboson_additional_jets	extrapolation to higher jet multiplicity in diboson events

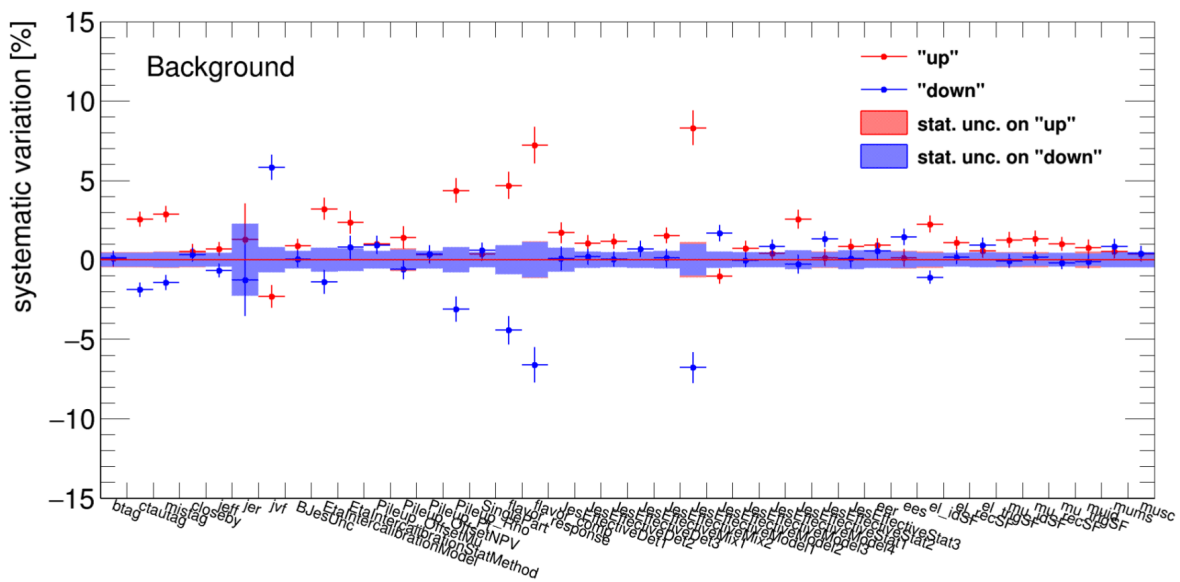
ცხრილი 6. ანალიზი გათვალისწინებული ყველა სისტემატიკური განუზღვრელობების განმარტება.

source	background [%]	$t\bar{t} \rightarrow bWqZ$ [%]
Lumi	2.8/-2.8	2.8/-2.8
btags	-	6.5/-6.6
ctautags	2.5/-1.9	-0.7/0.3
mistags	2.8/-1.4	-0.3/0.3
jeff	0.7/-0.7	-
jer	-	2.1/-2.1
jvf	-2.3/5.7	0.4/1.5
BJesUnc	-	0.3/-0.5
EtaIntercalibrationModel	3.2/-1.4	1.7/-1.6
EtaIntercalibrationStatMethod	2.3/0.8	0.4/-0.5
Pileup_OffsetMu	1.0/0.9	-
Pileup_OffsetNPV	-	0.7/-1.2
Pileup_Rho	4.3/-3.1	1.8/-2.0
flavor_response	4.6/-4.4	2.2/-2.3
flavor_comp	7.1/-6.5	3.4/-4.1
JesEffectiveDet1	-	0.7/-0.6
JesEffectiveMix1	0.6/0.7	-
JesEffectiveModel1	8.2/-6.7	3.5/-4.1
JesEffectiveModel2	-1.0/1.6	-0.4/0.2
JesEffectiveStat1	-	0.6/-0.7
eer	0.9/0.5	-
eess	-	-0.6/0.3
el_idSF	2.2/-1.1	1.3/-1.6
el_trigSF	0.5/0.9	-
mu_idSF	-	0.6/-0.6
mu_recSF	-	0.3/-0.6
mu_trigSF	-	0.4/-0.5
mums	0.5/0.8	-
Zlight_norm	2.8/-2.8	✗
Zheavy_norm	9.4/-9.4	✗
$\sigma_{t\bar{t}}$	0.4/-0.5	5.1/-5.9
$\sigma_{t\bar{t}+V}$	0.8/-0.8	✗
$\sigma_{diboson}$	0.2/-0.2	✗
diboson_additional_jets	2.3/-2.3	✗
total	18/-17	11/-12

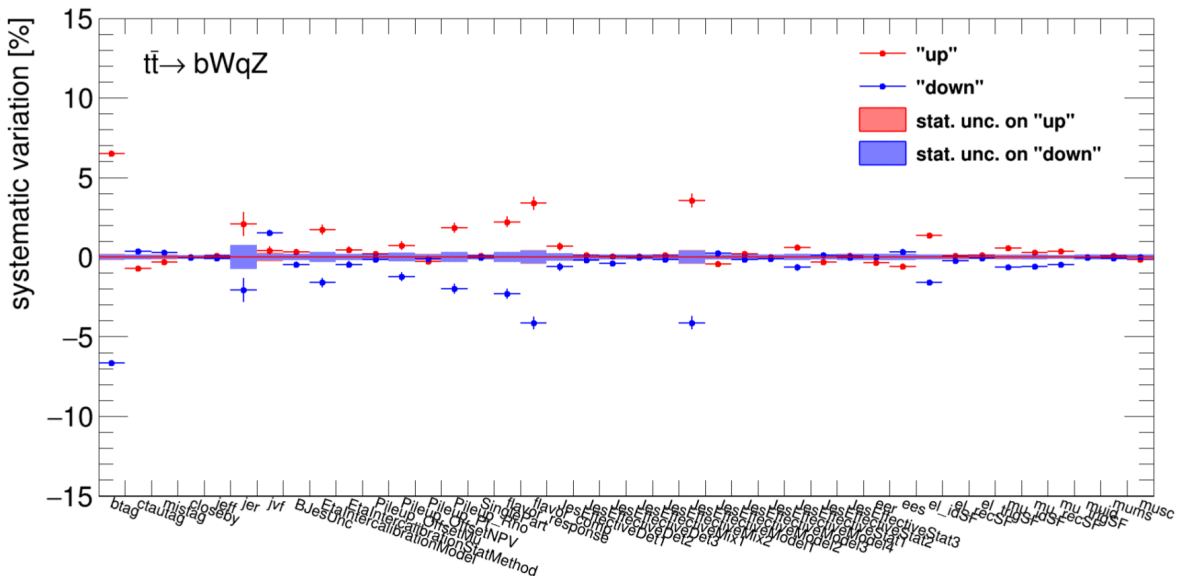
ცხრილი 7. თითოეული სისტემატიკური განუზღვრელობის ეფექტი (ფარდობითი განსხვავება) სიგნალის და ყველა ფონური პროცესის შემთხვევების რაოდენობაზე (რიცხვზე) (მოყვანილია პროცენტურა). დეტექტორის მოდელირების სისტემატიკა შეფასებილია ე.წ. ”ბუთსტრაფ” მეთოდით. ტირე ნიშნავს, რომ განუზღვრელობა (ცდომილება) მონტე-კარლო სიმულაციის სტატისტიკური განუზღვრელობის რიგისაა (თავსებადია მასთან), ამტომ ასეთი სისტემატიკა აღარ განიხილება. ჯვარი ნიშნავს, რომ განუზღვრელობის წყარო არ მოქმედებს მოცემულ პროცესზე. სისტემატიკური განუზღვრელობები ერთი ვარიაციით არის სიმეტრიზებული. ციტირებული ჯამური განუზღვრელობა წარმოადგენს “ზედა” და “ქვედა” ვარიაციების (ცვალებადობების) ქვადრატების ჯამიდან ამოღებულ კვადრატულ ფესვს.

მოდელირების სისტემატიკა, რომელიც შეიცავს ლეპტონების, ჭავლების, b,c და მსუბუქი არომატის შემცველი კვარკების აღდგენის განუზღვრელობებს, შეფასებილ იქნა ე.წ. "ბუთხსტრაფ" მეთოდით. ამ მეთოდის გამოყენებისას განისაზღვრება ი ფსევდო-ექსპერიმენტი. ყოველ ფსევდო-ექსპერიმენტში ნომინალურ და სისტემატიკური განუზღვრელობის წყაროს ვარიაციით მიღებულ მონაცემებში თითოეულ შემთხვევას მიეწერება პუასონის განაწილებიდან დაგნერირებული შემთხვევითი წონა $P(\lambda=1)$. შემდეგ ყოველ ფსევდო-ექსპერიმენტში გამოითვლება მიღებული შემთხვევათა რიცხვის სისტემატიკური ვარიაცია ("ზედა"/"ქვედა") და ამ ვარიაციების საშუალო ჩათვლილია მოცემულ სისტემატიკური განუზღვრელობის მნიშვნელობად, მაშინ როცა მათი საშუალო კვადრატული გადახრა განიხილება, როგორც მოცემული სისტემატიკური განუზღვრელობის სტატისტიკური ცდომილება. სისტემატიკური განუზღვრელობის წყარო ითვლება მნიშვნელოვნად მონტე-კარლო მონაცემების სტატისტიკიასთან მიმართებაში თუ მისი "ზედა" და "ქვედა" ვარიაციები აღემატება მათსავე სტატისტიკურ ცდომილებას (განუზღვრელობას).

ნახ. 15 და 16-ზე ნაჩვენებია ყოველი სისტემატიკური განუზღვრელობის წყაროს ფონური პროცესების ჯამურ რიცხვზე და სიგნალის შემთხვევების რაოდენობაზე (რიცხვზე) ფარდობითი გავლენა, რომელიც მიღებულია სიგნალის რეგიონში (არეში) ე.წ. “ბუთსტრაფ” მეთოდის გამოყენებით. ნახაზებზე ასევე მოყვანილია “ზედა” და “ქვედა” ვარიაციების სტატისტიკური ცდომილებები.



ნახაზი 15. ყოველი სისტემატიკური განუზღვრელობის წყაროს ფონური პროცესების ჯამურ რაოდენობაზე (რიცხვზე) ფარდობითი გავლენა, რომელიც გამოთვლილია სიგნალის არეში ე.წ. “ბუთსტრაფ” მეთოდის გამოყენებით. რიცხვები გამოსახულია პროცენტებში.



ნახაზი 16. ყოველი სისტემატიკური განუზღვრელობის წყაროს სიგნალის შემთხვევების რაოდენობაზე (რიცხვზე) ფარდობითი გაფლენა, რომელიც გამოთვლილია სიგნალის არეში ე.წ. “ბუთსტრაფ” მეთოდის გამოყენებით. რიცხვები გამოსახულია პროცენტებში.

8. მრავალცვლადიანი დისკრიმინატული ანალიზი

შემთხვევათა საბოლოო შერჩევის კრიტერიუმების გამოყენების
შემდეგ სიგნალის მნიშვნელოვნების (*s /v b*) ოპტიმიზაციის მიზნით
გამოყენებულ იქნა ალბათური ანალიზი (მრავალგვლადიანი
დისკრიმინატული ანალიზი). ალბათური ანალიზის სტრატეგიას
წარმოადგენს:

- აირჩეს ისეთი არაკორელირებული ფიზიკური სიდიდეები, რომელთა მიხედვით განაწილებები სიგნალის და ფონების შემთხვევებისათვის განსხვავებულია.
 - რჩეული ფიზიკური სიდიდეების გამოყენებით შედგეს დისკრიმინატული ცვლადი (სიგნალის ფონებისაგან გამოსარჩევად)
 - დაიდოს დისკრიმინატულ ცვლადზე ჩამოჭრის პირობა ისე რომ $s \wedge b$ -სთვის მიღებულ იქნას მაქსიმალური მნიშვნელობა, სადაც s არის სიგნალის შემთხვევათა რიცხვი, ხოლო b ფონური შემთხვევების რიცხვი.

ყოველი შემთხვევისათვის გამოთვლილ იქნა სიგნალის და ფონის ალბათობები P_s და P_b , სათანადოდ ალბათობის სიმკვრივის ფუნქციების საშუალებით, რომლებიც შედგენილი იყო ისეთი ფიზიკური სიდიდეების საშუალებით, რომელთა განაწილებები სიგნალისა და ფონური პროცესებისათვის განსხვავდება ერთმანეთისაგან. არჩეულ იქნა 5 არაკორელირებული სიდიდე დისკრიმინატორული ცვლადის ასაგებად, რომელთა ალბათობის სიმკვრივის ფუნქციების მიხედვით განაწილებები წარმოდგენილია ნახ. 17-ზე: FCNC აღდგენილი ტოპ კვარკის ინგარისნისტული მასა π_{top}^{FCNC} , აღდგენილი b და q კვარკების განივი იმპულსების $\vec{J}_\text{ამი}$ $P_{T^q+P_b}^{q_b}$,

აღდგენილი W ბოზონის ინვარიანტული მასა m_W , აღდგენილი Z და W ბოზონების განივი იმპულსების ჯამი $P_T^{W+P_T^Z}$ და აღდგენილი Z და W ბოზონებს შორის კუთხის კოსინუსი. ნახაზიდან ჩანს, რომ ზემოთხამოთვლილ ცვლადებით განაწილებების ფორმა განსხვავდება ექსპერიმენტული, მონტ-კარლო სიგნალის და ფონების შემთხვევებისათვის. ნახ. 18-ზე წარმოდგენილია ორგანზომილებიანი კორელაციური განაწილება (მატრიცა) $m_{top}^{FCNC}, P_T^{q+P_T^b}, m_W, P_T^{W+P_T^Z}$ და $\cos(\theta_W - \theta_Z)$ ცვლადებისათვის, საიდანაც ჩანს რომ ისინი მართლაც არაკორელირებული არიან. დავუშვებთ რა რომ არჩეული ცვლადებია არაკორელირებული არიან, ყოველი შემთხვევისათვის სიგნალის და ფონის ალბათობებისათვის მივიღებთ:

$$P_s = \prod_{i=1}^n p_i^s(x_i), P_b = \prod_{i=1}^n p_i^b(x_i)$$

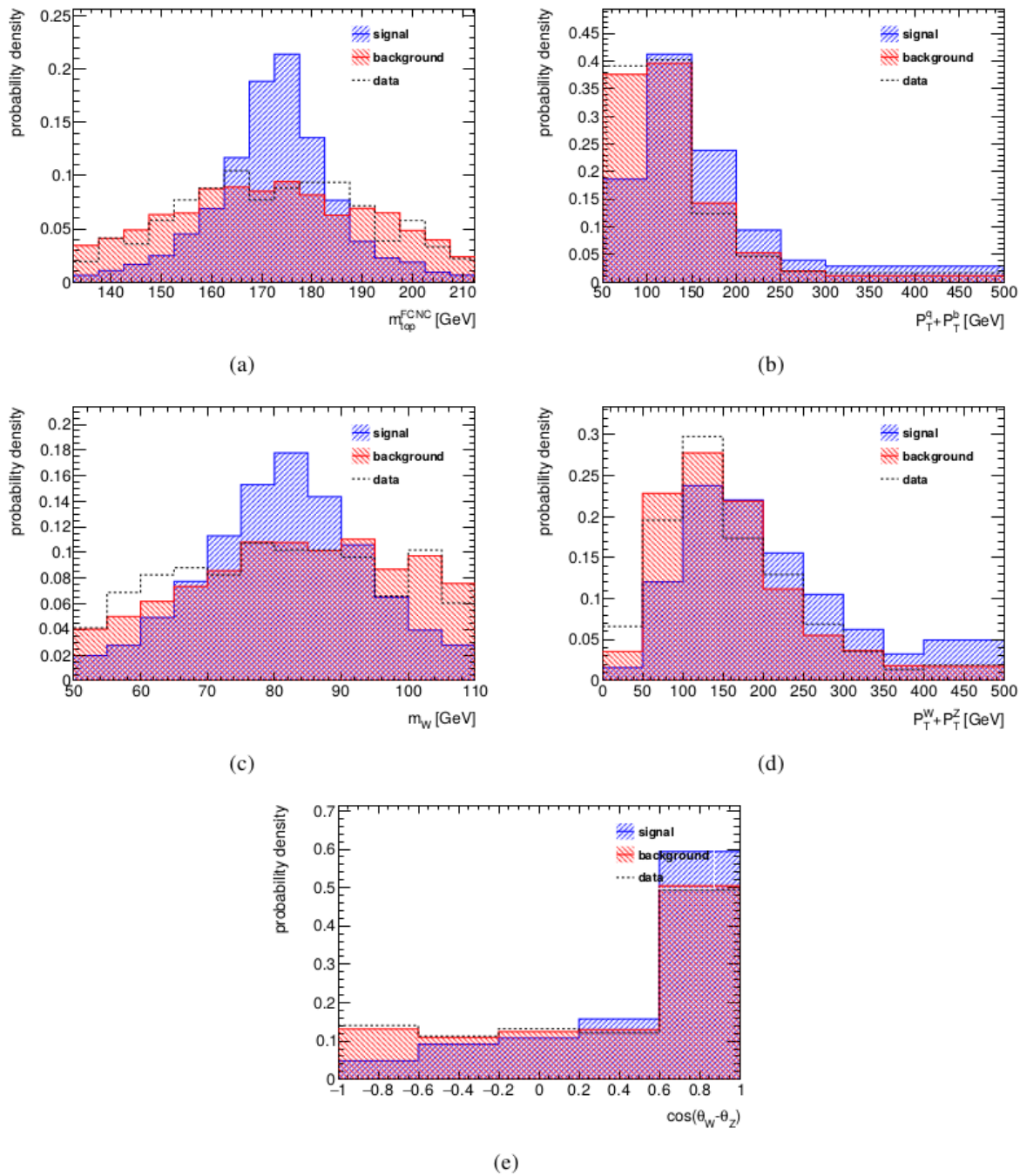
სადაც $n = 5$ არის გამოყენებული ალბათობის სიმკვრივის ფუნქციები p_i^s (p_i^b) არის ალბათობა იმისა რომ შემთხვევაში ფიზიკურ ცვლადის i -ს მნიშვნელობა ტოლია x_i -ის რომელიც შეესაბამება სიგნალის (ფონის) ალბათობის სიმკვრივის ფუნქციას. თუ $P_s > P_b$, მაშინ შემთხვევა სიგნალის მსგავსია, თუ $P_s < P_b$, მაშინ შემთხვევა ფონის მსგავსია. ამრიგად დისკრიმინატული ცვლადი შეიძლება იყო შემდეგი:

$$L_R = \log\left(\frac{P_s}{P_b}\right)$$

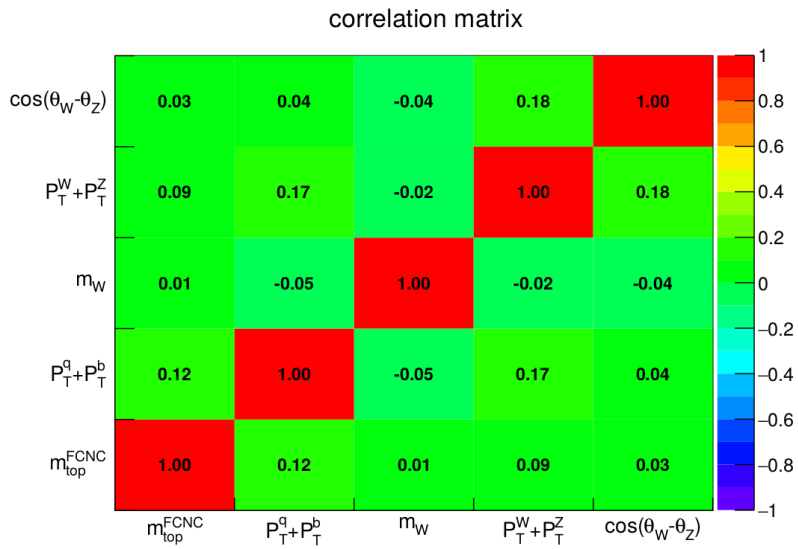
სიგნალის მსგავსი შემთხვევებისათვის L_R მეტია ვიდრე ფონის მსგავსი შემთხვევებისათვის, მრავალფაქტორიანი დისკრიმინანტული ცვლადის განაწილება მოყვანილია ნახ. 19-ზე. სიგნალის მნიშვნელოვნების ოპტიმიზაცია განხორციელდა დისკრიმინანტულ L_R ცვლადზე ჩამოჭრის კრიტერიუმის დადებით. ნახ. 20 მოყვანილია სიგნალის მნიშვნელოვნების დამოკიდებულება დისკრიმინანტულ ცვლადზე (L_R^{cut}) ჩამოჭრის მნიშვნელობაზე. ამ ნახაზიდან ჩანს, რომ სიგნალის მნიშვნელობის მაქსიმუმი $s/\sqrt{b}=13.66$ (სიგნალის რაოდენობა ნორმირებულია დაშლის ფარდობითი ალბათობისათვის $BR(t \rightarrow qZ) = 1\%$) შეესაბამება $L_R^{cut} = 0.75$ მნიშვნელობას. ნახ. 21 –ზე მოყვანილია ფონების ინტენსიურობა α_b და სიგნალის ინტენსიურობა α_s . დისკრიმინანტული ცვლადის ხარისხის

(ვარგისიანობის) რაოდენობრივი შეფასება შესაძლებელია $(1 - \alpha_b)$ vs. α_s მრუდის შიგნით მდებარე არეს საშუალებით, რომელიც მოყვანილია ნახ.

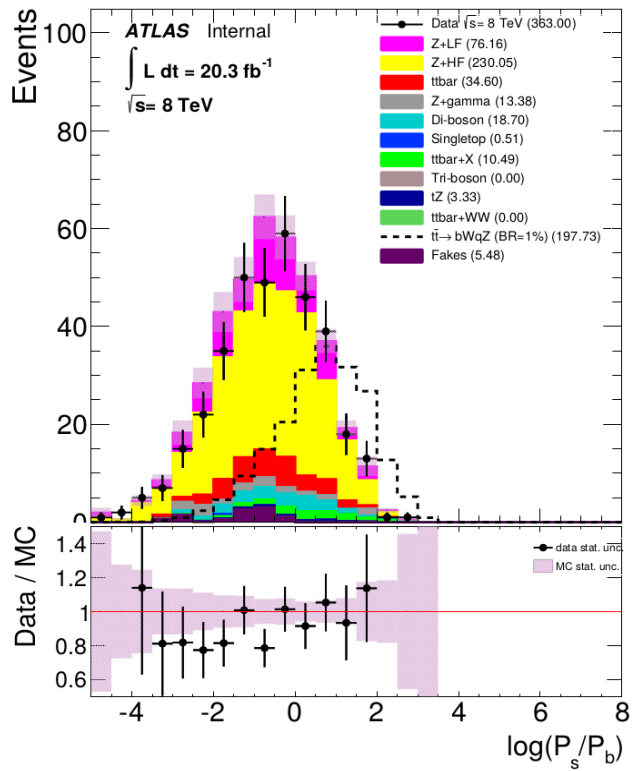
22-ზე. ამ ნახაზზე ნაჩვენებია $(1 - \alpha_b)$ vs. α_s მრუდი ორი სხვადასხვა შემთხვევისათვის: როდესაც დისკრიმინანტული ცვლადი აგებულია (შედგენილია) 5 ფიზიკური ცვლადის საშუალებით და როცა შედგენილია ორი ცვლადის მეშვეობით: FCNC აღდგენილი ტოპ კვარკის და აღდგენილი W ბოზონის ინვარიანტული მასების გამოყენებით.



ნახაზი 17. ალბათობის სიმკვრივის ფუნქციები ფიზიკური ცვლადებისათვის a) FCNC აღდგენილი ტოპ კვარკის ინვარიანტული მასა $m_{\text{top}}^{\text{FCNC}}$ b) აღდგენილი b და q კვარკების განივი იმპულსების ჯამი $P_T^a + P_T^b$ c) აღდგენილი W ბოზონის ინვარიანტული მასა m_W d) აღდგენილი Z და W ბოზონების განივი იმპულსების ჯამი $P_T^W + P_T^Z$ e) აღდგენილი Z და W ბოზონებს შორის კუთხის კოსინუსი $\cos(\theta_W - \theta_Z)$, რომელთაგან შედგენილ იქნა დისკრიმინანტული ცვლადი.

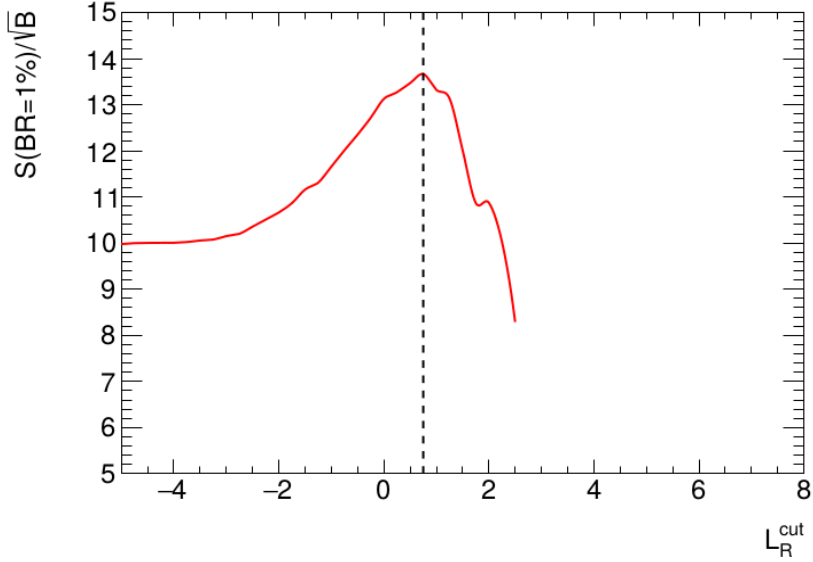


ნახაზი 18. არჩეული ფიზიკური ცვლადებისათვის ორგანზომილებიანი ჯორელაციური მატრიცა.

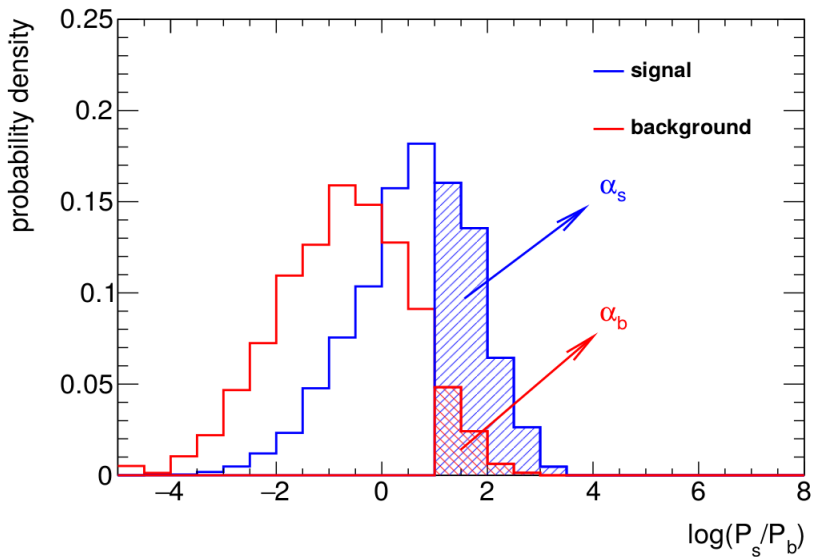


ნახაზი 19. დისკრინატული ცვლადის $L_R = \log\left(\frac{P_s}{P_b}\right)$ განაწილება ექსპერიმენტული, მონტე-კარლო სიგნალის და ფონების შემთხვევებისათვის.

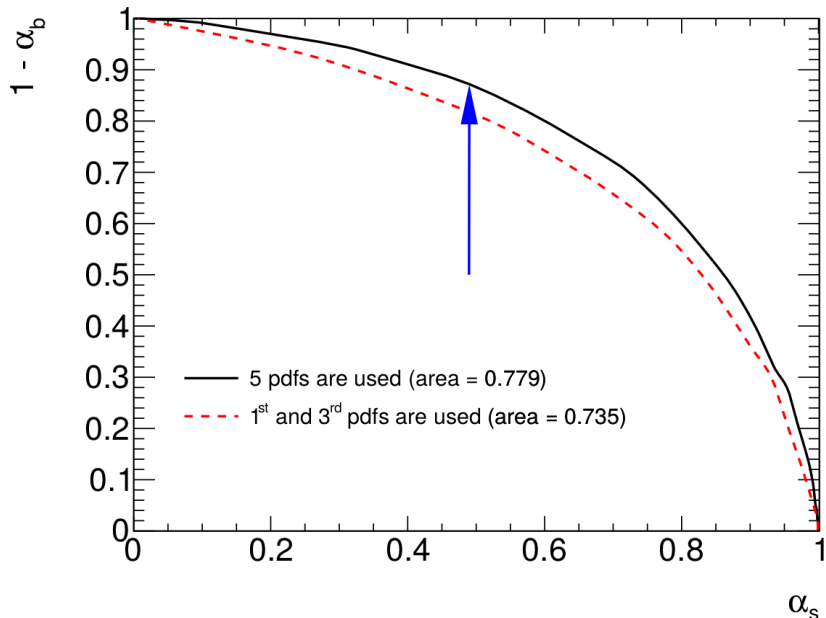
ნახ. 22-დან ჩანს, რომ დისკრიმინანტული ცვლადი შედგენილი 5 ფიზიკური ცვლადის საშუალებით არის მისაღები და უკეთესი ვიდრე დისკრიმინანტული ცვლადი შედგენილი 2 ფიზიკური ცვლადის საშუალებით.



ნახაზი 20. სიგნალის შემთხვევების რაოდენობის ფონების შემთხვევების რაოდენობიდან კვადრატულ ფესვზე ფარდობის s/b (სიგნალის რაოდენობა ნორმირებულია ფარდობითი დაშლის ალბათობისათვის $\text{BR}(t \rightarrow qZ) = 1\%$) დამოკიდებულება დისკრიმინანტული ცვლადის ჩამოჭრის სიდიდეზე. ვერტიკალური ხაზი შეესაბამება დისკრიმინანტის ჩამოჭრის სიდიდეს ($L_R^{\text{cut}} = 0.75$ or $L_R > 0.75$).



ნახაზი 21. დისკრიმინანტული ცვლადის ალბათობის სიმკვრივის ფუნქცია. ეს მრუდი გამოსახავს სიგნალის ინტენსიურობას α_s და ფონების ინტენსიურობას α_b .



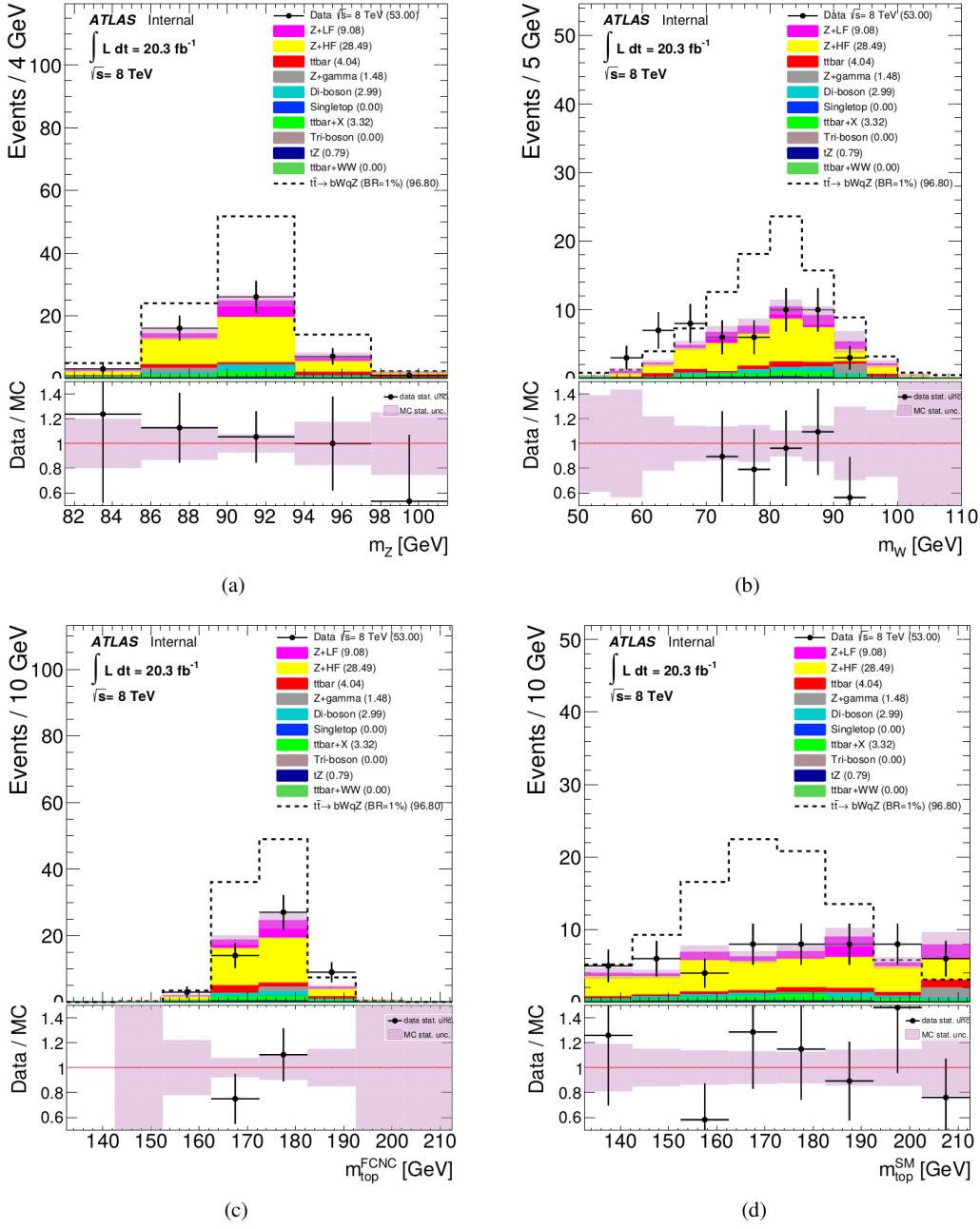
ნახაზი 22. ფონების ჩამოჭრის (გადაგდების) $(1 - \alpha_b)$ დამოკიდებულება სიგნალის ინტენსიურობაზე α_s . ლურჯი ისარი მიუთითებს სამუშაო წერტილს, რომელიც შეესაბამება $\alpha_s = 0.49$, $\alpha_b = 0.13$, $s/\sqrt{b} = 13.66$ მნიშვნელობებს.

ცხრილ 8-ში მოყვანილია დისკრიმინანტულ ცვლადზე ჩამოჭრის კრიტერიუმის მოთხოვნის შემდეგ დარჩენილი შემთხვევების რაოდენობა, ხოლო ნახ. 23-ზე მოყვანილია ადდგენილი ტოპ კვარკების, Z და W ბოზონების ინვარიანტული მასების განაწილებები.

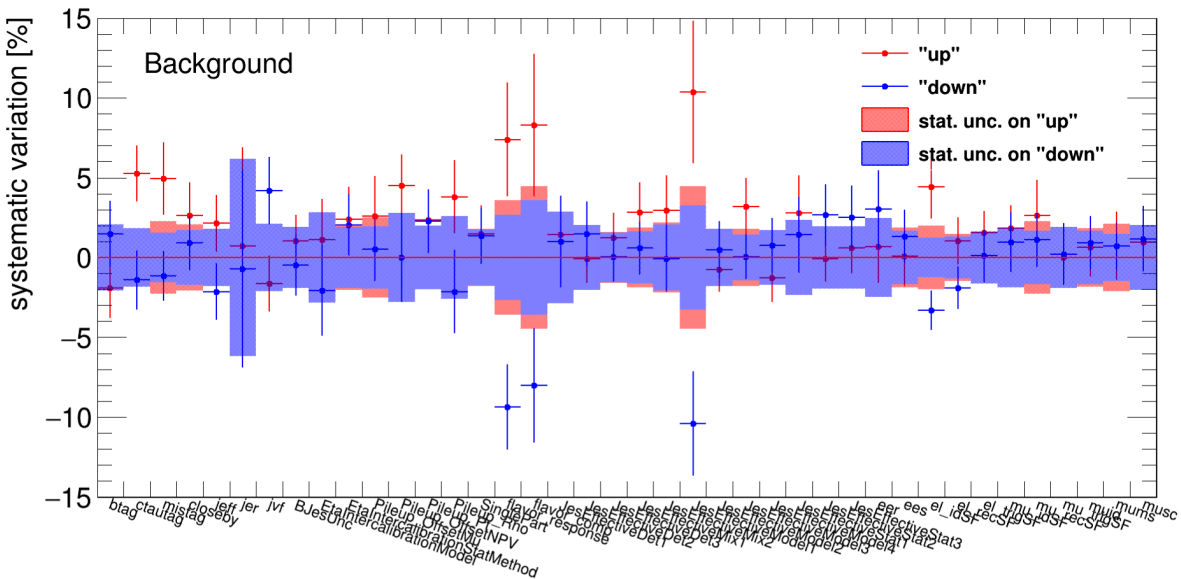
ნახ. 24 და 25-ზე მოცემულია ყოველი სისტემატიკური განუზღვრელობის ფარდობითი გავლენა სიგნალის და ფონური პროცესების ჯამურ შემთხვევების რაოდენობაზე (რიცხვზე) დისკრიმინანტულ ცვლადზე ჩამოჭრის კრიტერიუმის მოთხოვნის შემდეგ, გამოთვლილი “ბუთსტრაფ” მეთოდის გამოყენებით. ცხრილ 9-ში თავმოყრილია ყველა სისტემატიკური განუზღვრელობების (ცდომილებების) წყაროები და მათი ფარდობითი გავლენა სიგნალის და ფონურ შემთხვევებზე.

Sample	Event yields after the cut on $\log(P_s/P_b)$
Z+LF	9.1 ± 1.6
Z+HF	28.5 ± 1.8
$t\bar{t}$	4.04 ± 0.81
$Z+\gamma$	1.5 ± 1.4
Di-boson	2.99 ± 0.48
Single top	0
$t\bar{t}V$	3.13 ± 0.16
Tri-Boson	0
$t\bar{t}\gamma$	0.16 ± 0.16
$t\bar{t}H$	0.0300 ± 0.0031
tZ	0.79 ± 0.060
$t\bar{t}WW$	0
Fakes	-
Background	$50 \pm 3^{+10}_{-10}$
Data	53
$t\bar{t} \rightarrow bWqZ$ (BR=1%)	$97 \pm 2^{+12}_{-13}$
Sig. eff. ϵ	$0.0140 \pm 0.0003^{+0.0015}_{-0.0017}$

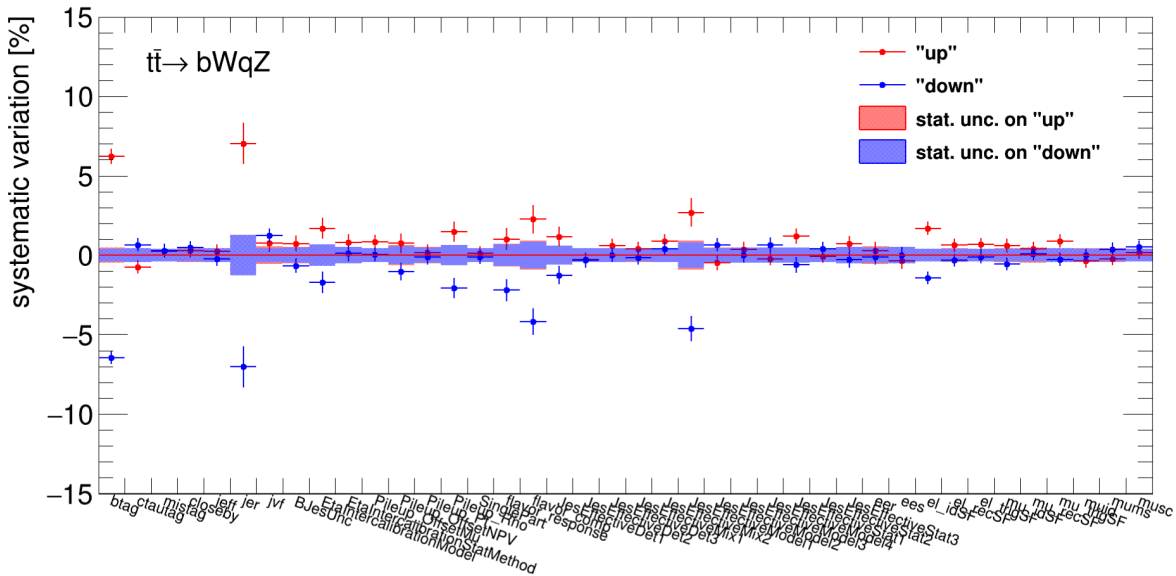
ცხრილი 8. ფონური პროცესების მოსალოდნელი შემთხვევების რაოდენობა, არჩეული ექსპერიმენტული შემთხვევების რაოდენობა და სიგნალის ეფექტურობა მიღებული დისკრიმინანტულ ცვლადზე L_R -ზე ჩამოჭრის კრიტერიუმის მოთხოვნის შედეგად. სიგნალის შემთხვევების რიცხვი ნორმირებულია $t \rightarrow qZ$ დაშლის 1% ფარდობით ალბათობაზე. სიგნალის ეფექტურობა შეესაბამება სიგნალის განხილულ ტოპოლოგიას ($W \rightarrow \text{hadrons}$, $Z \rightarrow ll$ ($l = e, \mu, \tau$)). თვითეული ფონური პროცესისათვის მოყვანილია მხოლოდ სტატისტიკური ცდომილებები. ფონების ჯამური რიცხვისათვის, სიგანლის რიცხვისა და ეფექტურობისათვის ცდომილებები ნაჩვენებია როგორც მნიშვნელობა $\pm \Delta_{\text{stat.}}^{+\Delta_{\text{syst.}}}_{-\Delta_{\text{syst.}}}$.



ნახაზი 23. დისკრიმინანტულ ცვლადზე ჩამოჭრის კრიტერიუმის მოთხოვნის შედეგად დმზერილი და მოსალოდნელი განაწილებები სიგნალის არესათვის: a) აღდგენილი Z პოზონების ინვარიანტული მასეა, b) აღდგენილი W პოზონების ინვარიანტული მასეა, c) აღდგენილი ტოპ კვარკის ინვარიანტული მასა არომატის შემცვლელი ნეიტრალური დენგებით მიმდინარე დაშლის (FCNC) ჰიპოთეზისათვის, d) აღდგენილი ტოპ კვარკის ინვარიანტული მასებით სტანდარტული მოდელით (SM) მიმდინარე დაშლის ჰიპოთეზისათვის. სიგნალი ნორმირებულია $t \rightarrow qZ$ დაშლის 1% ფარდობით ალბათობაზე.



ნახაზი 24. ყოველი სისტემატიკური განუზღვრელობის ფარდობითი გავლენა ფონური პროცესების ჯამურ შემთხვევების რაოდენობაზე (რიცხვზე) დისკრიმინანტულ ცვლადზე ჩამოჭრის კრიტერიუმის მოთხოვნის შემდეგ, გამოთვლილი “ბუთსტრაფ” მეთოდის გამოყენებით. რიცხვები გამოსახულია პროცენტული.



ნახაზი 25. ყოველი სისტემატიკური განუზღვრელობის ფარდობითი გავლენა სიგნალის შემთხვევების რაოდენობაზე (რიცხვზე) დისკრიმინანტულ ცვლადზე ჩამოჭრის კრიტერიუმის მოთხოვნის შემდეგ, გამოთვლილი “ბუთსტრაფის” მეთოდის გამოყენებით. რიცხვები გამოსახულია პროცენტული.

source	background [%]	$t\bar{t} \rightarrow bWqZ$ [%]
Lumi	2.8/-2.8	2.8/-2.8
btag	-	6.2/-6.4
ctautag	-	-0.7/0.7
jeff	2.1/-2.1	-
jer	-	7.0/-7.0
jvf	-	0.8/1.2
BJesUnc	-	0.7/-0.7
EtaIntercalibrationModel	-	1.7/-1.7
EtaIntercalibrationStatMethod	2.4/2.0	-
Pileup_OffsetNPV	-	0.8/-1.1
Pileup_Pt	2.4/2.3	-
Pileup_Rho	-	1.5/-2.1
flavor_response	7.4/-9.4	1.0/-2.2
flavor_comp	8.3/-8.0	2.3/-4.2
JesEffectiveDet1	-	1.2/-1.3
JesEffectiveModel1	10.4/-10.4	2.7/-4.6
JesEffectiveStat1	-	1.2/-0.6
el_idSF	4.4/-3.3	1.7/-1.4
mu_idSF	-	0.6/-0.6
Zlight_norm	2.6/-2.6	×
Zheavy_norm	9.1/-9.1	×
$\sigma_{t\bar{t}}$	0.4/-0.5	5.1/-5.9
$\sigma_{t\bar{t}+V}$	1.9/-1.9	×
$\sigma_{diboson}$	0.3/-0.3	×
diboson_additional_jets	2.9/-2.9	×
total	19/-20	12/-14

ცხრილი 9. ყოველი სისტემატიკური განუზღვრელობის სიგნალის და ფონური პროცესების ჯამურ შემთხვევების რაოდენობაზე (რიცხვზე) ფარდობითი გავლენის შედეგი (მოყვანილია პროცენტებში) დისკრიმინანტულ ცვლადზე ჩამოჭრის კრიტერიუმის მოთხოვნის შემდეგ. დეტექტორის მოდელირების სისტემატიკა შეფასებულია ე.წ. "ბუთსტრაფ" მეთოდით. ტირე ნიშნავს, რომ განუზღვრელობა მონტე-კარლო სიმულაციის სტატისტიკური განუზღვრელობის რიგისაა (თავსებადია მასთან). აიმტომ ასეთი სისტემატიკა აღარ განიხილება. ჯვარი ნიშნავს, რომ განუზღვრელობის წყარო არ მოქმედებს მოცემულ პროცესზე. სისტემატიკური განუზღვრელობები ერთი გარიაციით არის სიმეტრიზებული. ციტირებული ჯამური განუზღვრელობა წარმოადგენს "ზედა" და "ქვედა" ვარიაციების (ცვალებადობების) კვადრატების ჯამიდან ამოდებულ კვადრატულ ფესვს.

9. ზედა ზღვარის შეფასება

სიგნალის მოსალოდნელ შემთხვევათა რიცხვზე 95% საიმედოობის დონით ზედა ზღვარი მიღებული იქნა მოდიფიცირებული სისტემული მეთოდით (CL_s) [95-97], რომელიც განხორციელებულია RootStats პროგრამულ პაკეტში [94] და დაფუძნებულია მორგებული მართლმსგავსების ფუნქციის მეთოდზე, რომელიც ითვალისწინებს სისტემატიკურ და სტატისტიკურ განუზღვრელობებს შესაბამისი შეშფოთების პარამეტრების გამოყენებით, რომელთა ფიტირება ხდება ექსპერიმენტული მონაცემებიდან.

სტატისტიკური ანალიზი დაფუძნებულია მართლმსგავსების $L(\mu, \theta)$ ფუნქციაზე, რომელიც არის შედგენილი (აგებული) შემდეგნაირად: იგი არის დამზერილი შემთხვევების რიცხვის შესაბამისი პუსონის განაწილების წევრის ნამრავლი θ პარამეტრებისათვის რამდენიმე გაუსის წევრებზე (შეზღუდვის პირობებით), სადაც θ არის შეშფოთების პარამეტრების კრებული, რომელიც ითვალისწინებს სტატისტიკური და სისტემატიკური განუზღვრელობების ეფექტებს სიგნალის და მოსალოდნელი ფონური პროცესებისათვის. ეს ფუნქცია დამოკიდებულია $\mu - \theta$, რომელზეც მრავლდება n_s -ი (სიგნალის შემთხვევების რიცხვი, ნორმირებული ფარდობითი დაშლის ალბათობაზე $Br(t \rightarrow qZ) = 1\%$), ამრიგად მოსალოდნელ სიგნალის შემთხვევათა რიცხვზე ზედა ზღვარი მოიცემა, როგორც $n_s^{upper} = \mu^{upper} \cdot n_s$.

სატესტო სტატისტიკა q_μ განისაზღვრება მორგებული მართლმსგავსების სუნქციების ფარდობის გამოყენებით შემდეგნაირად:

$$\lambda(\mu) = \frac{L(\mu, \hat{\theta})}{L(\hat{\mu}, \hat{\theta})}$$

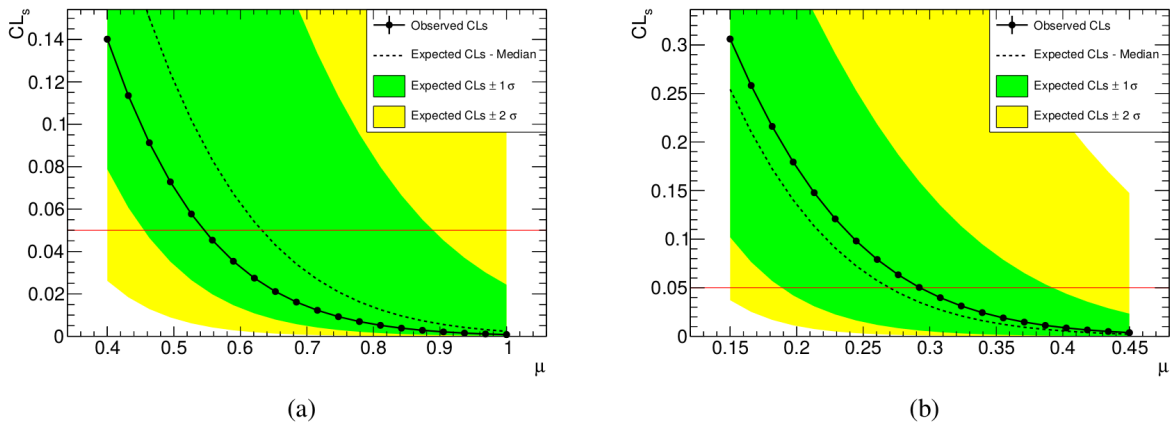
$$q_\mu = \begin{cases} -2 \ln \lambda(\mu) & \hat{\mu} \leq \mu \\ 0 & \hat{\mu} > \mu \end{cases}$$

სადაც $\hat{\mu}$ და $\hat{\theta}$ არის პარამეტრების ის მნიშვნელობები როცა მართლმსგავსების ფუნქცია იღებს მაქსიმალურ მნიშვნელობას (შემდეგი შეზღუდვით $0 \leq \hat{\mu} \leq \mu$) და $\hat{\theta}$ არის შეშფოთების პარამეტრების ის მნიშვნელობები, როცა მართლმსგავსების ფუნქცია იღებს მაქსიმალურ მნიშვნელობას μ -ს მოცემული მნიშვნელობისათვის. ეს სატესტო სტატისტიკა გამოიყენება დამზერილი მონაცემების (შემთხვევების) მხოლოდ ფონური პროცესების არსებობის (ანუ $\mu = 0$ -სთვის) ჰიპოთეზასთან თავსებადობის გასაზომად და $\mu - s$ შესახებ გარკვეული სტატისტიკური დასკვნების გასაკვთებლად, ისეთი როგორიცაა ზედა ზღვრები (საზღვრები) CL_s მეთოდის [95-97] გამოყენებით, რომელიც განცორციელებულია RootStats / RootFit პროგრამულ პაკეტში [94, 98]. დადგენილი ზედა ზღვარის საიმედოობის ხარისხი განისაზღვრება შემდეგნაირად:

$$CL_s = \frac{1 - \int_0^{q_\mu^{obs}} f(q_\mu | \mu) dq_\mu}{1 - \int_0^{q_\mu^{obs}} f(q_\mu | 0) dq_\mu}$$

$$CL = 1 - CL_s$$

სადაც $f(q_\mu | \mu)$ არის q_μ -ის ალბათობის სიმკგრივის ფუნქცია და q_μ^{obs} არის ექსპერიმენტული მონაცემებიდან დამზერილი სატესტო სტატისტიკის მნიშვნელობა μ -ს მოცემული მნიშვნელობისათვის. μ -სთვის მოსალოდნელი ზედა ზღვარი არის ის, რომელიც მიიღება მაშინ, როცა ექსპერიმენტული მონაცემების შემთხვევები ძალიან კარგად აღიწერება მოსალოდნელი ფონებით, ამრიგად იგი შეიძლება გამოთვლილ იქნას q_μ^{obs} -ის შეცვლით q_μ -ის შესაბამისი მედიანის მნიშვნელობით $\mu=0$ დაშვებით. საიმედოობის ხარისხი გამოთვლილ იქნა $\lambda(\mu)$ -ის [99] ასიმპტოტური თვისებების გამოყენებით რომელიც განხორციელებულია RootStats-ში [94]. ნახ. 26-ზე ნაჩვენებია CL_s -ის დამოკიდებულება μ -ზე მიღებული როგორც საბოლოო შერჩევის კრიტერიუმების დადების შედეგად მიღებული მონაცემების საშუალებით, ისე დისკრიმინანტულ ცვლადზე ჩამოჭრის კრიტერიუმის დადების შედეგად მიღებული მონაცემებით. მიღებული დამზერილი ზღვარი თანხვედრაშია მოსალოდნელ ზღვართან $\pm 1\sigma$ ფარგლებში.



ნახაზი 26. CL_s -ის დამოკიდებულება μ -ზე, რომელზეც უნდა გამრავლდეს n_s (სიგნალის შემთხვევების რიცხვი ნორმირებული ფარდობითი დაშლის ალბათობაზე $Br(t \rightarrow qZ) = 1\%$), მიღებული შემდეგი შედეგების გამოყენებით a) საბოლოო შერჩევის კრიტერიუმების გამოყენებით და b) დისკრიმინანტულ ცვლადზე ჩამოჭრის კრიტერიუმის გამოყენებით.

სიგნალის მოსალოდნელ შემთხვევათა რიცხვზე ზღვრები გარდაქმნილი იყო შესაბამისი ფარდობითი დაშლის ალბათობების ზედა ზღვრებად $t\bar{t}$ კვეთისათვის წამყვანი რიგის შემდეგი რიგის შესწორებით გამოთვლილი

მნიშვნელობის $\sigma_{t\bar{t}} = 253^{+13}_{-15}$ pb [32] გამოყენებით და შეზღუდვის შემდეგი პირობის დადებით: $BR(t \rightarrow bW) = 1 - BR(t \rightarrow qZ)$:

$$n_s = 2 \times \int L \cdot dt \times \sigma_{t\bar{t}} \times BR(t \rightarrow qZ) \times (1 - BR(t \rightarrow qZ)) \times \varepsilon \times BR(Z \rightarrow ll) \times BR(W \rightarrow jj)$$

ცხრილ 10-ში წარმოდგენილია დამზერილი (დაკვირვებული) და მოსალოდნელი საზღრები $\pm 1\sigma$ ფარგლებში.

	observed	-1σ	expected	$+1\sigma$
$BR(t \rightarrow qZ)$ after the final selection	5.4×10^{-3}	4.5×10^{-3}	6.3×10^{-3}	8.9×10^{-3}
$BR(t \rightarrow qZ)$ after the cut on L_R	2.9×10^{-3}	1.9×10^{-3}	2.7×10^{-3}	3.9×10^{-3}

ცხრილი 10. საბოლოო შერჩევის და მრავალცვლადიანი დისკრიმინაციული ანალიზის შედეგად არომატის ცვლილებით ნეიტრალური დენებით მიმდინარე ტოპ კვარკის $t \rightarrow qZ$ დაშლის ფარდობითი ალბათობის მოსალოდნელი და დაკვირვებული ზედა ზღვრები 95% საიმედობის ხარისხით. გრეთვე მოყვანილია მოსალოდნელი ზედა ზღვარის მნიშვნელობა $\pm 1\sigma$ ფარგლებში. მოსალოდნელი და დაკვირვებული ზედა ზღვრები შეიცავს სტატისტიკური და სისტემატიკური განუზღვრელობების (ცდომილებების) წვლილს.

10. დასკვნები

არომატის შემცვლელი ნეიტრალური დენებით მიმდინარე ტოპ კვარკის იშვიათი დაშლა $t \rightarrow qZ$ შევისწავლეთ ექსპერიმენტული მონაცემების ანალიზის შედეგად, რომელიც დაგროვილი იქნა ATLAS ექსპერიმენტში 2012 წლის განმავლობაში მასათა ცენტრის სისტემაში 8 ტევ ენერგიაზე პროტონ-პროტონული ურთიერთქმედებების შედეგად და რომელიც შეესაბამება 20.3 fb^{-1} ინტეგრალურ ნათებას. $t \rightarrow qZ$ დაშლის ძიება ჩვენ განვიხილეთ ტოპ-ანტიტოპ კვარკების ($t\bar{t}$) წყვილური დაბადების ტოპოლოგიაში, როდესაც ერთი ტოპ კვარკი იშლება არომატის შემცვლელი ნეიტრალური დენებით მიმდინარე პროცესის შესაბამისად, ხოლო მეორე ტოპ კვარკი იშლება სტანდარტული მოდელის პროცესის შესაბამისად. $t\bar{t} \rightarrow bWqZ$ შემთხვევები შესწავლილ იქნა დილეპტონურ არხში: ყალიბრული Z ბოზონი იშლება ლეპტონებად, ხოლო W ბოზონი იშლება კვარკებად. განხილული ტოპ კვარკის აშნე პროცესით მიმდინარე იშვიათი დაშლის არანაირი ცხადი ნიშანი არ იქნა დამზერილი. 95% დამაჯერებლობის ხარისხით გამოვლილი იქნა დამზერილი (მოსლალოდნელი) ზედა ზღვარი $t \rightarrow qZ$ დაშლის ფარდობითი ალბათობისათვის $Br(t \rightarrow qZ) < 2.9 \times 10^{-3}$ (2.7×10^{-3}).

ଲୋକେରାଟିଭା

- [1] ATLAS Collaboration, CDF Collaboration, CMS Collaboration, D0 Collaboration Collaboration, arXiv:1403.4427 [hep-ex].
- [2] S. Glashow, J. Iliopoulos, and L. Maiani, Phys. Rev. D2 (1970) 1285-1292.
- [3] J. A. Aguilar-Saavedra and B. M. Nobre, Phys. Lett. B553 (2003) 251-260.
- [4] F. del Aguila, J. A. Aguilar-Saavedra, and R. Miquel, Phys. Rev. Lett. 82 (1999) 1628-1631.
- [5] J. A. Aguilar-Saavedra, Phys. Rev. D67 (2003) 035003. Erratum-ibid. D 69 (2004) 099901.
- [6] T. P. Cheng and M. Sher, Phys. Rev. D35 (1987) 3484.
- [7] B. Grzadkowski, J. F. Gunion, and P. Krawczyk, Phys. Lett. B268 (1991) 106-111.
- [8] M. E. Luke and M. J. Savage, Phys. Lett. B307 (1993) 387-393.
- [9] D. Atwood, L. Reina, and A. Soni, Phys. Rev. D53 (1996) 1199-1201.
- [10] D. Atwood, L. Reina, and A. Soni, Phys. Rev. D55 (1997) 3156-3176.
- [11] S. Bejar, J. Guasch, and J. Sola, Nucl. Phys. B600 (2001) 21-38.
- [12] C. S. Li, R. J. Oakes, and J. M. Yang, Phys. Rev. D49 (1994) 293-298.
Erratum-ibid.D56:3156,1997.
- [13] G. M. de Divitiis, R. Petronzio, and L. Silvestrini, Nucl. Phys. B504 (1997) 45-60.
- [14] J. L. Lopez, D. V. Nanopoulos, and R. Rangarajan, Phys. Rev. D56 (1997) 3100-3106.
- [15] J. Guasch and J. Sola, Nucl. Phys. B562 (1999) 3-28.
- [16] D. Delepine and S. Khalil, Phys. Lett. B599 (2004) 62-74.
- [17] J. J. Liu, C. S. Li, L. L. Yang, and L. G. Jin, Phys. Lett. B599 (2004) 92-101.
- [18] J. J. Cao et al., Phys. Rev. D75 (2007) 075021.
- [19] J. M. Yang, B.-L. Young, and X. Zhang, Phys. Rev. D58 (1998) 055001.
- [20] G. Lu, F. Yin, X. Wang, and L. Wan, Phys. Rev. D68 (2003) 015002.
- [21] G. P. K. Agashe and A. Soni, Phys. Rev. D 71 (2005) 016002, arXiv:hep-ph/0408134.
- [22] G. P. K. Agashe and A. Soni, Phys. Rev. D 75 (2007) 015002, arXiv:hep-ph/0606293.
- [23] J. A. Aguilar-Saavedra, Acta Phys. Polon. B35 (2004) 2695-2710.
- [24] ALEPH Collaboration, A. Heister et al., Phys. Lett. B543 (2002) 173-182.
- [25] DELPHI Collaboration, J. Abdallah et al., Phys. Lett. B590 (2004) 21-34.
- [26] OPAL Collaboration, G. Abbiendi et al., Phys. Lett. B521 (2001) 181-194.

- [27] L3 Collaboration, P. Achard et al., Phys. Lett. B549 (2002) 290-300.
- [28] The LEP Exotica WG, LEP Exotica WG 2001-01.
- [29] ZEUS Collaboration, H. Abramowicz et al., Phys.Lett. B708 (2012) 27-36, arXiv:1111.3901 [hep-ex].
- [30] D0 Collaboration, A. V. M. et al., Phys. Lett. B 701 (2011) 313 - 320.
- [31] CMS Collaboration Collaboration, S. Chatrchyan et al., Phys.Rev.Lett. 112 (2014) 171802, arXiv:1312.4194 [hep-ex].
- [32] ATLAS Collaboration, Search for charged Higgs bosons decaying via $H^\pm \rightarrow \tau^\pm \nu$ in fully hadronic final states using pp collision data at $\sqrt{s} = 8$ TeV with the ATLAS detector, arXiv:1412.6663v2 [hep-ex] 23 Dec 2014, CERN-PH-EP-2014-274
- [33] M. Cacciari, M. Czakon, M. Mangano, A. Mitov, and P. Nason, Phys.Lett. B710 (2012) 612-622, arXiv:1111.5869 [hep-ph].
- [34] P. Baernreuther, M. Czakon, and A. Mitov, Phys.Rev.Lett. 109 (2012) 132001, arXiv:1204.5201 [hep-ph].
- [35] M. Czakon and A. Mitov, JHEP 1212 (2012) 054, arXiv:1207.0236 [hep-ph].
- [36] M. Czakon and A. Mitov, JHEP 1301 (2013) 080, arXiv:1210.6832 [hep-ph].
- [37] M. Czakon, P. Fiedler, and A. Mitov, arXiv:1303.6254 [hep-ph].
- [38] M. Czakon and A. Mitov, arXiv:1112.5675 [hep-ph].
- [39] M. Botje, J. Butterworth, A. Cooper-Sarkar, A. de Roeck, J. Feltesse, et al., arXiv:1101.0538 [hep-ph].
- [40] A. Martin, W. Stirling, R. Thorne, and G. Watt, Eur.Phys.J. C63 (2009) 189-285, arXiv:0901.0002 [hep-ph]. [
- [41] A. Martin, W. Stirling, R. Thorne, and G. Watt, Eur.Phys.J. C64 (2009) 653-680, arXiv:0905.3531 [hep-ph].
- [42] H.-L. Lai, M. Guzzi, J. Huston, Z. Li, P. M. Nadolsky, et al., Phys.Rev. D82 (2010) 074024, arXiv:1007.2241 [hep-ph].
- [43] J. Gao, M. Guzzi, J. Huston, H.-L. Lai, Z. Li, et al., arXiv:1302.6246 [hep-ph].
- [44] R. D. Ball, V. Bertone, S. Carrazza, C. S. Deans, L. Del Debbio, et al., Nucl.Phys. B867 (2013) 244-289, arXiv:1207.1303 [hep-ph].
- [45] M. Aliev, H. Lacker, U. Langenfeld, S. Moch, P. Uwer, et al., Comput.Phys.Commun. 182 (2011) 1034-1046, arXiv:1007.1327 [hep-ph].
- [46] ATLAS Collaboration, The ATLAS Experiment at the CERN Large Hadron Collider, JINST 3 (2008) S08003.
- [47] J. A. Aguilar-Saavedra, "Protos - PROgram for TOp Simulations." <https://jaguilar.web.cern.ch/jaguilar/protos/> .

- [48] Tech. Rep. ATL-COM-PHYS-2013-1024, CERN, Geneva, Jul, 2013.
- [49] J. Aguilar-Saavedra, Nucl.Phys. B812 (2009) 181-204, arXiv:0811.3842 [hep-ph].
- [50] J. Pumplin, D. Stump, J. Huston, H. Lai, P. M. Nadolsky, et al., JHEP 0207 (2002) 012, arXiv:hep-ph/0201195 [hep-ph].
- [51] T. Sjostrand, S. Mrenna, and P. Z. Skands, JHEP 0605 (2006) 026, arXiv:hep-ph/0603175 [hep-ph].
- [52] P. Z. Skands, Phys.Rev. D82 (2010) 074018, arXiv:1005.3457 [hep-ph].
- [53] K. Nakamura et al., J. Phys. G 37 no. 7A, (2010) 075021.
- [54] GEANT4 Collaboration, S. Agostinelli et al., Nucl.Instrum.Meth. A506 (2003) 250-303.
- [55] ATLAS Collaboration, Eur. Phys. J. C 70 (2010) 823.
- [56] M. L. Mangano et al., ALPGEN, a generator for hard multiparton processes in hadronic collisions, JHEP 07 (2003) 001, arXiv:0206293 [hep-ph].
- [57] P. M. Nadolsky et al., Implications of CTEQ global analysis for collider observables, Phys. Rev. D 78 (2008) 013004, arXiv:0802.0007 [hep-ph].
- [58] T. Sj ostrand, S. Mrenna, and P. Skands, Pythia 6.4 Physics and Manual, JHEP 05 (2006) 026, arXiv:0603175v2 [hep-ph].
- [59] M. L. Mangano et al., Multijet matrix elements and shower evolution in hadronic collisions: $Wb\bar{b} + n_{jets}$ as a case study, Nucl. Phys. B 632 (2002) 343, arXiv:0108069 [hep-ph].
- [60] K. Melnikov and F. Petriello, Electroweak gauge boson production at hadron colliders through $O(\alpha_s^2)$, Phys. Rev. D 74 (2006) 114017, arXiv:0609070 [hep-ph].
- [61] S. Frixione and B. R. Webber, JHEP 0206 (2002) 029, arXiv:hep-ph/0204244 [hep-ph].
- [62] G. Corcella, I. G. Knowles, G. Marchesini, S. Moretti, K. Odagiri, P. Richardson, M. H. Seymour, and B. R. Webber, Tech. Rep. hep-ph/0210213. CAVENDISH-HEP-2002-17. CERN-TH-2002-270. DAMTP-2002-124. IPPP-2002-58, CERN, Geneva, Oct, 2002.
- [63] T. Gleisberg, S. Hoeche, F. Krauss, M. Schonherr, S. Schumann, et al., JHEP 0902 (2009) 007, arXiv:0811.4622 [hep-ph].
- [64] J. Alwall, M. Herquet, F. Maltoni, O. Mattelaer, and T. Stelzer, Tech. Rep. arXiv:1106.0522, Jun, 2011.
- [65] P. Nason, A new method for combining NLO QCD with shower Monte Carlo algorithms, JHEP 11 (2004) 040.
- [66] S. Frixione, P. Nason, and C. Oleari JHEP 11 (2007) 070, arXiv:0709.2092 [hep-ph].
- [67] S. Alioli, P. Nason, C. Oleari, and E. Re JHEP 06 (2010) 040, arXiv:1002.2581 [hep-ph].
- [68] Sjostrand, Torbjorn et al., A Brief Introduction to PYTHIA 8.1, Comput.Phys.Commun. 178 (2008) 852-867 arXiv:0710.3820 [hep-ph]
- [69] <https://twiki.cern.ch/twiki/bin/view/AtlasProtected/TopD3PD Corrections>
We are using tag TopD3PD Corrections-12-01-16

- [70] B. Acharya et al., Tech. Rep. ATL-COM-PHYS-2013-1016, CERN, Geneva, Jul, 2013.
- [71] B. Acharya et al., Tech. Rep. ATL-COM-PHYS-2013-088, CERN, Geneva, Jan, 2013.
- [72] M. Cacciari, G. P. Salam, and G. Soyez, JHEP 0804 (2008) 063, arXiv:0802.1189 [hep-ph].
- [73] M. Cacciari and G. P. Salam, Phys.Lett. B641 (2006) 57-61, arXiv:hep-ph/0512210 [hep-ph].
- [74] M. Cacciari, G. P. Salam, and G. Soyez, Eur.Phys.J. C72 (2012) 1896, arXiv:1111.6097 [hep-ph].
- [75] T. Barillari et al., Tech. Rep. ATL-LARG-PUB-2009-001-2. ATL-COM-LARG-2008-006. ATL-LARG-PUB-2009-001, CERN, Geneva, Jun, 2008.
- [76] ATLAS Collaboration Collaboration, G. Aad et al., Eur.Phys.J. C73 (2013) 2304, arXiv:1112.6426 [hep-ex].
- [77] ATLAS Collaboration, Tech. Rep. ATLAS-CONF-2011-102, CERN, Geneva, Jul, 2011.
- [78] ATLAS Collaboration, Tech. Rep. ATLAS-CONF-2010-038, CERN, Geneva, Jul, 2010.
- [79] G. Aad et al., Tech. Rep. ATL-COM-PHYS-2013-449, CERN, Geneva, Apr, 2013.
- [80] ATLAS Collaboration, Luminosity determination in pp collisions at $\sqrt{s} = 7$ TeV using the ATLAS detector at the LHC, Eur. Phys. J. C 71 (2011) 1630, arXiv:1101.2185 [hep-ex].
- [81] Tech. Rep. ATLAS-CONF-2013-004, CERN, Geneva, Jan, 2013.
- [82] ATLAS Collaboration, Estimation of the W+Jets Background for Top Quark Re-Discovery in the Single Lepton+Jets Channel, ATL-COM-PHYS-2010-834 (2010).
- [83] J. Campbell and R. Ellis, An update on vector boson pair production at hadron colliders, Phys. Rev. D 60 (1999) 113006, arXiv:9905386 [hep-ph].
- [84] J. M. Campbell and R. K. Ellis, JHEP 1207 (2012) 052, arXiv:1204.5678 [hep-ph].
- [85] M. Garzelli, A. Kardos, C. Papadopoulos, and Z. Trocsanyi, JHEP 1211 (2012) 056, arXiv:1208.2665 [hep-ph].
- [86] <https://twiki.cern.ch/twiki/bin/viewauth/AtlasProtected/TTplusV>
- [87] Tech. Rep. ATL-COM-PHYS-2014-764, CERN, Geneva, Jul, 2014.
- [88]
 - <https://twiki.cern.ch/twiki/bin/viewauth/AtlasProtected/TopFakesPreliminaryFull8TeVFromDileptons>
- [89]
 - <https://twiki.cern.ch/twiki/bin/viewauth/AtlasProtected/JVFUncertaintyTool>
 - We are using tag JVFCUncertaintyTool-00-00-04
- [90]
 - <https://twiki.cern.ch/twiki/bin/viewauth/AtlasProtected/JetUncertainties>
 - We are using tag JetUncertainties-00-08-07
- [91] Tech. Rep. ATL-COM-PHYS-2011-240, CERN, Geneva, Mar, 2011.
- [92]
 - <https://twiki.cern.ch/twiki/bin/view/AtlasProtected/JetEnergyResolutionProvider>
 - We are using tag JetResolution-02-00-02
- [93]
 - <https://twiki.cern.ch/twiki/bin/view/AtlasProtected/BTaggingCalibrationDataInterface>
 - We are using tag CalibrationDataInterface-00-03-06

- [94] W. Verkerke and D. Kirkby, RooFit Users Manual v2.91,
<http://rootfit.sourceforge.net> .
- [95] T. Junk, Confidence level computation for combining searches with small statistics, Nucl. Instr. Meth. A 434 (1999) 435, arXiv:9902006 [hep-ex].
- [96] A. L. Read, Presentation of search results: the CL_s technique, J. Phys. G 28 (2002) 2693.
- [97] G. Cowan, K. Cranmer, E. Gross, and O. Vitells, Asymptotic formulae for likelihood-based tests of new physics, Eur. Phys. J. C 71 (2011) 1554, arXiv:1007.1727 [physics.data-an].
- [98] W. Verkerke and D. Kirkby, The RooFit toolkit for data modeling, arXiv:0306116 [physics].
- [99] Cowan, Glen et al., Asymptotic formulae for likelihood-based tests of new physics, Eur.Phys.J. C71 (2011) 1554, Erratum-ibid. C73 (2013) 2501 arXiv:1007.1727
- [100] A. Denner, S. Dittmaier, T. Kasprzik and A. Muck, Electroweak corrections to dilepton + jet production at hadron colliders, JHEP 06 (2011) 069 [arXiv:1103.0914]